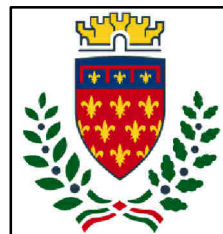




Finanziato
dall'Unione europea
NextGenerationEU



PFC Prato
Forest
City
comune di
PRATO
Codice Fiscale: 84006890481

Progetto

PNRR - MISSIONE 5 - INCLUSIONE E COESIONE - COMPONENTE 2 - INVESTIMENTO 2.1 "INVESTIMENTI IN PROGETTI DI RIGENERAZIONE URBANA, VOLTI A RIDURRE SITUAZIONI DI EMARGINAZIONE E DEGRADO SOCIALE FINANZIATO DALL'UNIONE EUROPEA - NEXT GENERATION EU - PROGETTO DI RIGENERAZIONE URBANA RELATIVO A "RIQUALIFICAZIONE VERDE SCOLASTICO PER ATTIVITA' DIDATTICA OPEN AIR"

CUP

C37H21001480001

Titolo

Relazione tecnica generale e relazione di calcolo

Fase

Progetto Esecutivo

Servizio	Servizio Urbanistica, Transizione Ecologica e Protezione Civile
Dirigente del servizio	Arch. Pamela Bracciotti
Responsabile Unico del Procedimento	Arch. Michela Brachi

Progettisti delle opere architettoniche

Arch. Massimo Fabbri - Ing. Alessandro Pazzagli

Collaborazione

Arch. Martina Melani - Arch. Gianni Balloni

Forestazione urbana

Dott. Agr. Paolo Bellocchi - Arch. Antonella Perretta

Coordinatore della sicurezza in fase di progettazione

Geom. Andrea Landi

Progettazione opere strutturali

Ing. Silvia Paoletti

Tecnico rilevatore

Geom. David Cinalli

Studi Geologici

Dott. Geol. Luca Aiazzi

Lotto 2: S02

Scala:

**PNRR - MISSIONE 5 - INCLUSIONE E COESIONE - COMPONENTE 2 - INVESTIMENTO
2.1 "INVESTIMENTI IN PROGETTI DI RIGENERAZIONE URBANA, VOLTI A RIDURRE
SITUAZIONI DI EMARGINAZIONE E DEGRADO SOCIALE FINANZIATO DALL'UNIONE
EUROPEA - NEXT GENERATION EU - PROGETTO DI RIGENERAZIONE URBANA
RELATIVO A "RIQUALIFICAZIONE VERDE SCOLASTICO PER ATTIVITA' DIDATTICA
OPEN AIR"**

RELAZIONE GENERALE E RELAZIONE DI CALCOLO

LOTTO 02

1. PREMESSA

La presente relazione tecnica costituisce parte integrante del Progetto Esecutivo relativo ad un intervento più ampio di INCLUSIONE E COESIONE - COMPONENTE 2 - INVESTIMENTO 2.1 "INVESTIMENTI IN PROGETTI DI RIGENERAZIONE URBANA, VOLTI A RIDURRE SITUAZIONI DI EMARGINAZIONE E DEGRADO SOCIALE FINANZIATO DALL'UNIONE EUROPEA - NEXT GENERATION EU - PROGETTO DI RIGENERAZIONE URBANA RELATIVO A "RIQUALIFICAZIONE VERDE SCOLASTICO PER ATTIVITA' DIDATTICA OPEN AIR" da eseguirsi all'intervento del Comune di Prato in resedi esterne di complessi scolastici esistenti.

Gli interventi sono relativi alla realizzazione di manufatti esterni fuori terra di varia natura, geometria e materiali costruttivi che variano a seconda del complesso scolastico considerato.

Trattasi di tettoie, pergolati, strutture coperte e/o scoperte in legno, acciaio e alluminio.

Sono collocate del giardino della scuola o in aree prospicienti l'edificio scolastico.

Gli interventi sono accorpatisi in vari lotti a seconda della zona di appartenenza e pertanto la presente relazione farà riferimento al lotto interessato ed alle scuole di specifico interesse.

Si riporta a chiarimento il dettaglio dei LOTTI interessati e delle scuole appartenenti nei singoli lotti.

LOTTO 01

- Nido Ranocchio, via Meucci 6, angolo vicolo del Chiassarello, Prato
- Infanzia Fontanelle, via del Palasaccio, 7 Prato
- Scuola primaria e secondaria I grado statale Ivana Marcocci, via Ardengo Soffici, 30 Prato
- Scuola infanzia statale Paperino, via Giulio Pastore, 5 Prato
- Scuola primaria statale Valeria Crocini, via Fossi del Ferro, 17 Prato
- Scuola infanzia statale Le Badie, via Augusto Righi, 75/A Prato e Scuola primaria statale Le Fonti, via Louis Pasteur, 3 Prato
- Nido Fiore, via Righi, 79 Prato

LOTTO 02

- Scuola secondaria I grado statale Convevole Da Prato, via Primo Maggio, 40 Prato
- Scuola infanzia statale Tobbiana, via Traversa Pistoiese, 17D Prato
- Scuola primaria statale Agostino Ammannati, via Del Chiasso, 2 Prato
- Scuola primaria statale Leonardo Da Vinci, via di Vergaio, 12 Prato
- Scuola infanzia statale Vergaio, via di Vergaio, 51 Prato
- Scuola primaria statale Laura Poli, via Mauro Miliotti, 4 Prato
- Scuola infanzia statale Cafaggio, via Roma, 317 Prato
- Scuola infanzia e primaria statale Carlo Collodi, via Del Purgatorio, 26 Prato

LOTTO 03

- Scuola infanzia statale Ferrucci, via Francesco Ferrucci, 416 Prato
- Scuola infanzia statale Il Campino, via Giovanni Amendola, 46 Prato;
- Scuola primaria statale Fabrizio De Andrè, via Gino Capponi, 51 Prato;
- Scuola primaria statale Pizzidimonte, via Mugellese 58/59 Prato
- Nido La Querce, via Firenze 310, Prato;

- Scuola secondaria I grado statale Giovan Battista Mazzoni, via San Silvestro, 11 Prato

LOTTO 04

- Scuola primaria statale Luca D'Amico, via Visiana, 225 Prato
- Scuola infanzia e primaria statale Gandhi, via Renato Mannocci, 23 Prato
- Infanzia Galciana, Via Valori, 1 Prato
- Infanzia Maliseti, via Cefalonia, 12 e Nido Pan Di Ramerino, via Coppola 10, Prato
- Scuola infanzia e primaria statale Claudio Puddu, via Montalese, 239 Prato

LOTTO 05

- Scuola primaria statale Virginia Frosini e Scuola secondaria I grado statale Buricchi via Galcianese, 20 Prato
- Scuola infanzia e primaria statale Pietro Mascagni, via Arturo Toscanini, 6 Prato
- Scuola infanzia Statale Borgo e Nido Le Girandole, via San Paolo, 149 Prato
- Nido Borgo, via Paisiello, 2 Prato
- Scuola infanzia Statale Il Pino, via Galcianese, 20 Prato
- Scuola infanzia statale Chiesanuova, Via Enrico Toti, 40/41 Prato
- Scuola primaria statale Ciliani, via Tarò, 56 Prato

LOTTO 06

- Scuola infanzia e primaria statale Giuseppe Meucci – via Giovanni Marradi, 2 Prato
- Scuola secondaria I grado statale Enrico Fermi, via Evaristo Gherardi, Prato
- Infanzia Galilei via Ada Negri, 57 e Nido Astrolabio, via Bisenzio a San Martino snc, Prato
- Scuola primaria statale Puccini – via Clemente Guerra, 47 Prato
- Scuola infanzia statale Cilianuzzo – via del Cilianuzzo, 10 Prato
- Nido e Infanzia Corridoni, via Corridoni, 15 Prato

Non tutte le scuole appartenenti al Lotto analizzato sono interessata dalla realizzazione dei nuovi manufatti.

La presente relazione è relativa alla descrizione delle opere strutturali che riguardano i manufatto oggetto di nuova realizzazione.

I manufatti sono primariamente distinti in 'opera di minore rilevanza' ai sensi delle NTC 2018 e 'opera priva di rilevanza'.

Le opere di minore rilevanza sono state dimensionate ai sensi delle NTC e per le stesse si procederà ad uno specifico deposito sismico configurato come nuova costruzione.

Le opere prive di rilevanza sono sempre dimensionate ai sensi delle NCT però per le stesse si procederà alla redazione di un fascicolo di calcolo che verrà opportunamente depositato solo presso l'AC.

2. LOTTO 02

Il LOTTO 02 accorpa 08 edificio scolastici della zona sud del territorio pratese.

L'intervento strutturale relativo alla realizzazione dei nuovi manufatti si ha in 05 degli edifici sopra indicati e degli interventi previsti 04 sono progetti strutturalmente rilevanti e 01 considerato come opera priva di rilevanza ai fini della pubblica incolumità.

Nel dettaglio

- Scuola secondaria I grado statale Convenerole Da Prato, via Primo Maggio, 40
- Scuola infanzia statale Tobbiana, via Traversa Pistoiese, 17D
- Scuola primaria statale Leonardo Da Vinci, via di Vergaio, 12
- Scuola infanzia statale Vergaio, via di Vergaio, 51
- Scuola infanzia e primaria statale Carlo Collodi, via Del Purgatorio, 26

Gli interventi nello specifico analizzati sono i seguenti:

- Scuola secondaria I grado statale Convenerole Da Prato : nel resede scolastico è progettata la realizzazione di una STRUTTURA DI ALLUMINIO COPERTA dimensioni fuori terra 600x400x295
- Scuola infanzia statale Tobbiana: nel resede scolastico è progettata la realizzazione di una struttura in LEGNO COPERTA dimensioni fuori terra 600x490x300
- Scuola primaria statale Leonardo Da Vinci: nel resede scolastico è progettata la realizzazione di una struttura in LEGNO COPERTA dimensioni fuori terra 900x500x300
- Scuola infanzia statale Vergaio: è progettata la realizzazione di Struttura in acciaio scoperta collegata al fabbricato 760x500xh300
- Scuola infanzia e primaria statale Carlo Collodi: nel resede scolastico è progettata la realizzazione di una STRUTTURA DI ALLUMINIO COPERTA dimensioni fuori terra 600x400x295

DESCRIZIONE STRUTTURALE E RELAZIONE DI CALCOLO DEI MANUFATTI OGGETTO DI PROGETTAZIONE

3 STRUTTURA DI ALLUMINIO COPERTA

La tipologia di pergola prevista nel progetto è riconducibile ad un modello esistente sul mercato definita Eclettica.

Trattasi di una struttura con profili estrusi di alluminio ideale per proteggersi dal sole e dalla pioggia o attività scolastica all'aperto e quant'altro attività come relax, picnic, parchi giochi e socializzazione all'aperto. La struttura ha un ingombro fuori terra pari a 600x400 con altezza sotto trave pari a 2.95ml dal pavimento.

E' composta da 4 pilastri ciascuno composto da un profilo estruso di alluminio EN AW- 6005 A – T6.

I pilastri sono realizzati mediante profili estrusi in alluminio a forma quadrata dimensioni esterne 130x130 collegati alla base da piastre a scomparsa.

In testa i pilastri sono collegati da travi principali sagomate ingombro massimo della sezione 130x260 provviste già di canale per la raccolta delle acque.

La falda della struttura è poi realizzata mediante arcarecci sempre in profili estrusi di alluminio sezioni 80x52

La fondazione della struttura è realizzata mediante platea gettata in opera opportunamente dimensionata. Gli elementi verticali del gazebo sono vincolati alla platea di base mediante piastre di ancoraggio a scomparsa come da dettaglio esecutivo allegato.

I nodi di collegamento tra gli elementi sono semplici appoggi.

3.1 RELAZIONE DI CALCOLO STRUTTURA DI ALLUMINIO

Dal punto di vista strutturale l'intervento si configura come nuova costruzione ai sensi delle NTC 2018.

Il manufatto è stato dimensionato considerando la sovrastruttura incastrata alla base e sollecitata da vento, neve e sisma nelle combinazioni di carico previste dalla normativa.

Le sollecitazioni ricavate poi dalla verifica dinamica della sovrastruttura sono state poi applicate alla platea sottostante per il dimensionamento della stessa e per la verifica della portanza del terreno.

La sovrastruttura è stata dimensionata mediante l'ausilio di un modellatore strutturale Modest e sono stati sulla stessa applicati i carichi neve e vento come da normativa vigente.

Ipotesi progettuali comuni a tutti i manufatti dimensionati sono:

- $q=1$
- Classe III: Costruzioni il cui uso preveda affollamenti significativi - SCUOLE

Simbologia

TCC = Tipo di combinazione di carico

SLU = Stato limite ultimo

SLU S = Stato limite ultimo (azione sismica)

SLE R = Stato limite d'esercizio, combinazione rara

SLE F = Stato limite d'esercizio, combinazione frequente

SLE Q = Stato limite d'esercizio, combinazione quasi permanente

SLD = Stato limite di danno

SLV = Stato limite di salvaguardia della vita

SLC = Stato limite di prevenzione del collasso

SLO = Stato limite di operatività

A_g = Accelerazione orizzontale massima al sito

FO = Valore massimo del fattore di amplificazione dello spettro in accelerazione orizzontale

TC* = Periodo di inizio del tratto a velocità costante dello spettro in accelerazione orizzontale

TCC	A_g	FO	TC*
SLO	0.5764	2.55	0.27
SLD	0.7013	2.54	0.27
SLV	1.6150	2.41	0.31

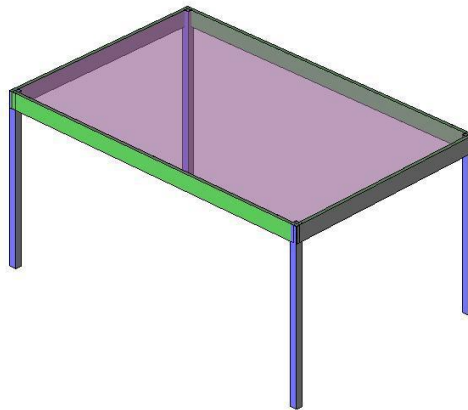
- Tipo di opera: Opera ordinaria
- Vita nominale V_N : 50.00
- Classe d'uso: classe III
- SL Esercizio: SLO-Pvr 81.00, SLD-Pvr 63.00
- SL Ultimi: SLV-Pvr 10.00, SLC-Pvr no
- Classe di duttilità: classe B
- Quota di riferimento: 0.00 <m>
- Altezza della struttura: 2.70 <m>
- Numero piani edificio: 1
- Coefficiente θ : 0
- Edificio regolare in altezza: si

- Edificio regolare in pianta: si
- Forze orizzontali convenzionali per stati limite non sismici: 1.00%

Dati di calcolo

-

Catego



ria del suolo di fondazione: C

- Tipologia edificio: acciaio a telaio con controventi concentrici a K ad un piano

Coeff. C_1	0.085
Periodo T_1	0.1790
	4
Coeff. λ SLO	1.00
Coeff. λ SLD	1.00
Coeff. λ SLV	1.00
Rapporto di sovrarresistenza (α_w/α_1)	1.10
Fattore riduttivo (K_w)	1.00
Fattore di struttura (q)	1.00

- Categoria topografica: T1 - Superficie pianeggiante, pendii e rilievi isolati con inclinazione media $i \leq 15^\circ$
- Coeff. amplificazione topografica: 1.00
- Fattore di struttura per sisma verticale (q_v): 1.50
- Modi da calcolare: 3
- Modi da considerare: tali da movimentare una percentuale di massa pari a 85.00%
- Smorzamento spettro: 5.00

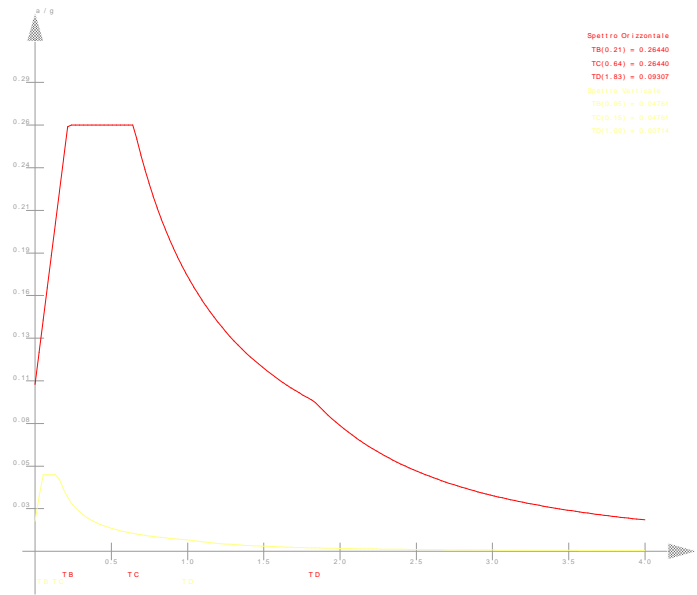


Figura numero 1: Spettro allo SLO

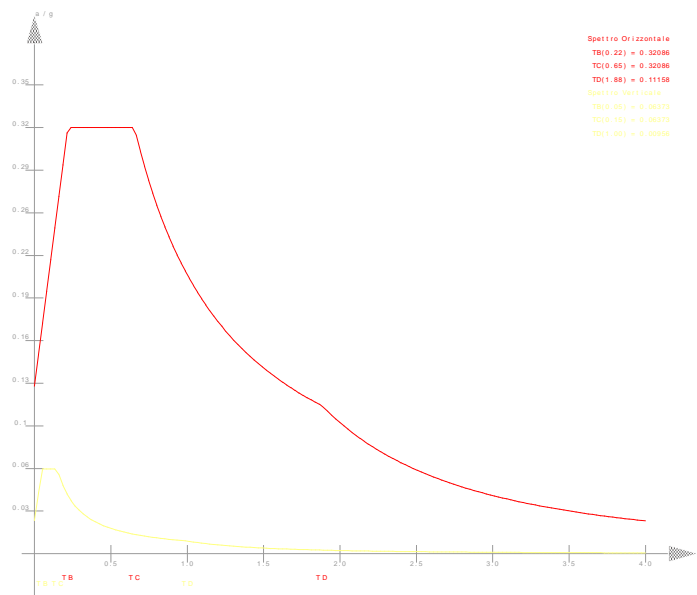


Figura numero 2: Spettro allo SLD

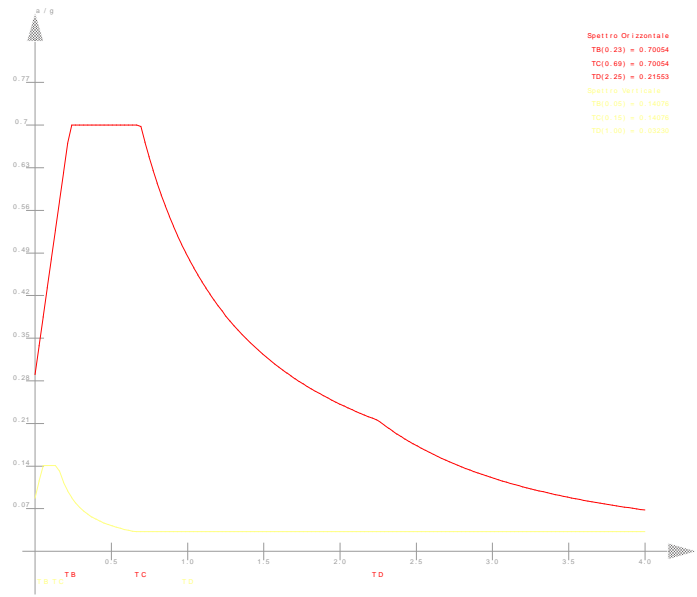
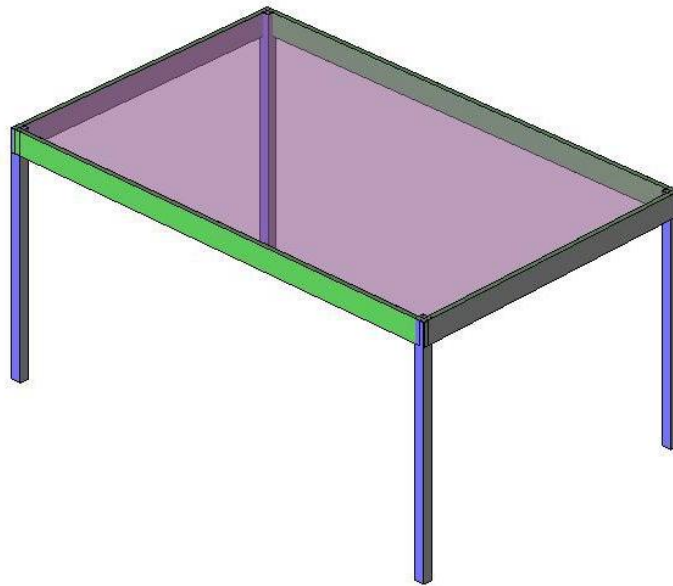


Figura numero 3: Spettro allo SLV

- Angolo di ingresso del sisma: 0.00 <grad>



3.2 RELAZIONE SUI MATERIALI

Acciaio per c.a. in barre ad aderenza migliorata:

Tensione di snervamento: **B450C**

$$f_{yk} \geq 4500 \text{ Kg/cm}^2$$

Conglomerato cementizio armato per strutture di fondazione: **C28/35**

Classe di consistenza S4, Dimensione max inerte < 24 mm
 Resistenza di progetto a compressione: $f_{cd} = 158.7 \text{ Kg/cm}^2$
 Resistenza di progetto a trazione: $f_{ctd} = 12.9 \text{ Kg/cm}^2$
 Classe di esposizione XC2
 Da tabella 4.1.III delle NTC condizioni ambientali ordinarie: copriferro $\geq 25 \text{ mm}$

Acciaio da carpenteria

Tutti gli elementi dovranno avere un modulo di elasticità non inferiore a 206000 N/mmq.

Profilati, larghi piatti, barre e lamiere

Acciaio tipo S 235 con le seguenti caratteristiche:

Tensione caratteristica di snervamento $\geq 235 \text{ N/mmq}$
 Tensione di rottura a trazione $\geq 390 \text{ N/mmq}$
 Allungamento percentuale a rottura per lamiere $\geq 24\%$
 Allungamento percentuale a rottura per barre, laminati, profilati e larghi piatti $\geq 26\%$

Bulloneria

Classe 4.6

ALLUMINIO DA ESTRUSIONE EN AW 6005 A

Caratteristiche fisiche

massa volumica :	2,71	g / cm ³	conducibilità termica a 20°C	- nello stato O: -nello stato T6:	2,09 1,72	W / cm °K W / cm °K
punto di fusione inferiore :	615	°C	coefficiente di dilatazione termica lineare	-tra 20° e 100°C: -tra 20° e 200°C: -tra 20° e 300°C:	23,2 · 10 ⁻⁶ 24,1 · 10 ⁻⁶ 25 · 10 ⁻⁶	1 / °K 1 / °K 1 / °K
calore specifico tra 0° e 100°C:	897	J/Kg °K	resistività elettrica a 20°C	-nello stato O: -nello stato T6	3,14 3,85	μΩ · cm μΩ · cm
modulo di elasticità lineare E:	69000	N / mm ²				
modulo elasticità tangenziale G:	26000	N/ mm ²				

Composizione chimica secondo Norma Europea EN 573.3

	Si	Fe	Cu	Mn	Mg	Cr	Zn	Ti	Altri		Al
									ciascuno	totale	
EN AW-6005A	0,5 ÷ 0,9	0,35 max	0,30 max	0,50 max (*)	0,4 ÷ 0,7	0,30 max (*)	0,20 max	0,10 max	0,05 max	0,15 max	resto
NOTA (*): (Mn + Cr) = 0,12 ÷ 0,50											

Proprietà meccaniche minime, secondo Norma Europea EN 755.2

Tipi di profilo	(1) stato fisico di fornitura	diametro D [mm] per tondi, o spess. S [mm] per barre, o spess. di parete e per profili		Carico di rottura a trazione Rm [MPa]		Carico limite di elasticità R _{p0.2} [MPa]		Allungamento	
				min	max	min	max	A % min	A _{50mm} % min
Barre piene	T6 (*)	D ≤ 25	S ≤ 25	270		225	.	10	8
		25 ≤ D ≤ 50	25 ≤ S ≤ 50	270	-	225	-	8	
		50 ≤ D ≤ 100	50 ≤ S ≤ 100	260	-	215	-	8	-
Tubi	T6 (*)	e ≤ 5		270		225		8	6
		5 < e ≤ 10		260		215		8	6
Profili aperti	T4 (*)	e ≤ 25		180	-	90	-	15	13
	T6 (*)	e ≤ 5		270	-	225	-	8	6
		5 < e ≤ 10		260	-	215	-	8	6
		10 < e ≤ 25		250	-	200	-	8	6
Profili cavi	T4 (*)	e ≤ 10		180	-	90	-	15	13
	T6 (*)	e ≤ 5		255	-	215	-	8	6
5 < e ≤ 15		250	-	200	-	8	6		

3.3 RELAZIONE DI FONDAZIONE

Si fa riferimento alla caratterizzazione geologico tecnica delle Scuole Collodi in quanto il substrato ha caratteristiche di portanza inferiori rispetto a quello delle Scuole <convenevoli da Prato.

Di seguito si procede al calcolo della tensione trasmessa dalla struttura astiforme alla platea di fondazione.

Dall'analisi delle reazioni vincolari alla base di ciascun elemento portante verticale si procede al dimensionamento della platea di fondazione ed al calcolo della tensione massima trasmessa da questa al terreno sottostante.

Si è proceduto ad una doppia verifica: la verifica STRU della platea e la verifica GEO con la quale si è ricavato il valore del carico massimo sul terreno da confrontare con il carico limite indicato nella relazione geologico-tecnica allegata alla presente pratica.

Reazioni vincolari

Simbologia

- Nodo = Numero del nodo
- R_x = Reazione vincolare (forza) in dir. X
- CC = Numero della combinazione delle condizioni di carico elementari
- R_y = Reazione vincolare (forza) in dir. Y
- R_z = Reazione vincolare (forza) in dir. Z
- M_x = Reazione vincolare (momento) intorno all'asse X
- M_y = Reazione vincolare (momento) intorno all'asse Y
- M_z = Reazione vincolare (momento) intorno all'asse Z

Nodo	Rx <kg>	CC	Ry <kg>	CC	Rz <kg>	CC	Mx <kgm>	CC	My <kgm>	CC	Mz <kgm>	CC
1 Max	559.52	1	416.54	7	942.85	7	522.96	7	702.54	1	0.00	7
1 Min.	-236.54	1	-379.52	7	304.60	7	-555.52	7	-418.76	1	0.00	7
2 Max	236.54	1	416.54	7	942.85	7	522.96	7	418.76	1	0.00	7
2 Min.	-559.52	1	-379.52	7	304.60	7	-555.52	7	-702.54	1	0.00	7
3 Max	559.52	1	379.52	7	942.85	7	555.52	7	702.54	1	0.00	7
3 Min.	-236.54	1	-416.54	7	304.60	7	-522.96	7	-418.76	1	0.00	7
4 Max	236.54	1	379.52	7	942.85	7	555.52	7	418.76	1	0.00	7
4 Min.	-559.52	1	-416.54	7	304.60	7	-522.96	7	-702.54	1	0.00	7

VERIFICA GEO DELLA PLATEA

CAPACITA' PORTANTE - METODO DI TERZAGHI GENERALIZZATO

APPROCCIO 2 (A1 + M1 + R3)

azioni incrementate, parametrici geotecnici invariati, resistenze ridotte

GammaG1 (*)	1,3
GammaG2 (*)	1,5
GammaQ (*)	1,5

VERIFICA ALLO SLU DI TIPO GEOTECNICO CALCOLO DEL CARICO LIMITE INSIEME FONDAZIONE- TERRENO

Dati terreno

angolo d'attrito ϕ	gradi	22
peso specifico 1	t/mc	1,70
peso specifico 2	t/mc	1,80
coesione c'	t/mq	0,00
inclinazione del pendio	gradi	0
profondità della falda dw	m	100
tipo di terreno	C/A	PD

Geometria fondazione

profondità di posa D	m	0,45
base B	m	1,00
lunghezza L (L>B)	m	1,00
eccentricità Eb	m	0,00
eccentricità El	m	0,00
inclinazione del carico effettiva	gradi	0,00

Dati di calcolo

inclinazione del carico sismica	gradi	3,60
inclinazione del carico totale	gradi	3,60487
B" (= B o B')	m	1
L" (= L o L')	m	1
c" (= c o c*)	t/mq	0,00
ϕ " (= ϕ o ϕ *)	gradi	22
Nq		7,82
Ng		7,13

Nc		16,88
fq		1,404
fg		0,600
fc		1,463
iq		0,960
ig		0,836
ic		0,960
eq		1,000
eg		1,000
ec		1,000
Risultati		
qlim	t/mq	11
gammaR		1,00
qRd	t/mq	11
kwinkler	DaN/cm3	0,45

<u>PLATEA</u>					
<u>GEOMETRIA</u>					
Dimensioni	(cm)	bx	by	Bx	By
		13	13	60	60
H plinto	(cm)	20			
copriferro	(cm)	3			
d	(cm)	17			
<u>SOLLECITAZIONI - MATERIALI</u>					
Azioni agenti SLU (KN-KNm)		Nsd	Msd x	Msd_y	
		9,43	5,23	7,03	
<u>PRESSIONI</u>					
Pressioni sul terreno	MPa	σ_1	σ_2	σ_3	σ_4
		0,402	-0,035	0,077	-0,361

La verifica GEO è soddisfatta in quanto $0.402 < 1.1$.

VERIFICA STRU DELLA PLATEA

Si considera una sezione della platea 40x40x20 in corrispondenza della quale vengono trasmesse le reazioni vincolari dei pilastri e si procede alla verifica geo della sezione

Verifica C.A. S.L.U. - File: _ □ ×

File Materiali Opzioni Visualizza Progetto Sez. Rett. Sismica Normativa: NTC 2018 ?

Titolo:

N° strati barre Zoom

N°	b [cm]	h [cm]
1	40	20

N°	As [cm²]	d [cm]
1	3,14	3
2	3,14	17

Tipo Sezione
 Rettan.re Trapezi
 a T Circolare
 Rettangoli Coord.
 DXF

Solecitazioni
 S.L.U. Metodo n

N_{Ed} kN
 M_{xEd} kNm
 M_{yEd}

P.to applicazione N
 Centro Baricentro cls
 Coord.[cm] xN yN

Tipo rottura
 Lato calcestruzzo - Acciaio snervato

M_{xRd} kNm

σ_c N/mm²
 σ_s N/mm²
 ε_c ‰
 ε_s ‰
 d cm
 x x/d
 δ

Metodo di calcolo
 S.L.U.+ S.L.U.-
 Metodo n

Tipo flessione
 Retta Deviata

N° rett.

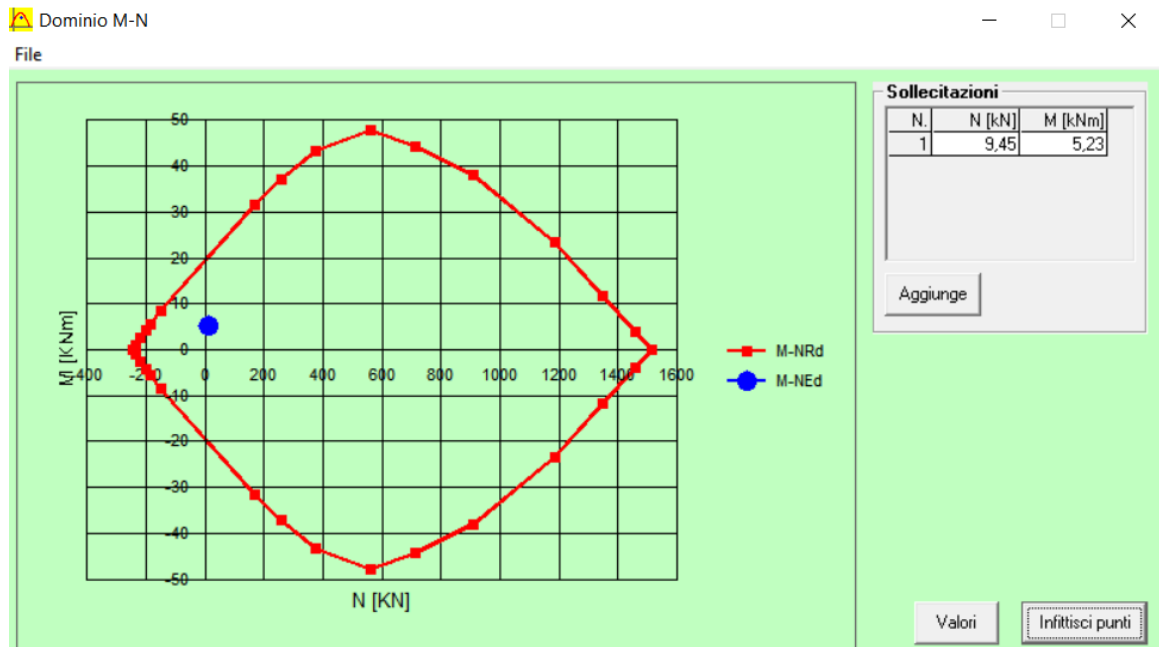
Calcola MRd

L₀ cm

Precompresso

Materiali

ε_{su} ‰ ε_{c2} ‰
 f_{yd} N/mm² ε_{cu} ‰
 E_s N/mm² f_{cd} ‰
 E_s/E_c f_{cc}/f_{cd} [?]
 ε_{syd} ‰ σ_{c,adm}
 σ_{s,adm} N/mm² τ_{co}
 τ_{c1}



3.4 RELAZIONE DI CALCOLO

ANALISI DEI CARICHI

L' **ANALISI DEI CARICHI** per la determinazione delle forze statiche agenti sulla struttura in esame è stata effettuata in modo tale da pervenire alle condizioni più gravose nei confronti delle verifiche da effettuare.

I carichi d'esercizio assunti a base dei calcoli, oltre il peso proprio delle strutture portanti ed ai sovraccarichi permanenti conformemente alla destinazione specifica dei locali ed a quelli stabiliti dalle NTC 2018 sono stati i seguenti:

CARICHI VERTICALI DISTRIBUITI – STATO di PROGETTO

G+QPS+QPN		25	Kg/mq
VENTO	SOPR	27	Kg/mq
VENTO	SOTT	54	Kg/mq
CARICO NEVE	Qacc	80	Kg/mq

La determinazione delle caratteristiche della sollecitazione provocate nelle strutture è stata effettuata con i **METODI DELLA SCIENZA DELLE COSTRUZIONI**, basati sull'ipotesi dell'elasticità lineare dei materiali e cumulando le condizioni di carico nel modo più sfavorevole.

Tutte le verifiche di resistenza del legno sono state eseguite con l'applicazione del **METODO DEGLI STATI LIMITE** , tenendo conto delle condizioni più gravose possibili di carico.

Le caratteristiche delle azioni sollecitanti ricavate in base alle combinazioni, secondo quanto stabilito al **p.to 2.5.3 del D.M. 17.01.2018** risultano inferiori alle azioni resistenti per tutti gli stati limite previsti dal suddetto decreto

SLU - Combinazione fondamentale

$$\gamma_{G1} G_1 + \gamma_{G2} G_2 + \gamma_P P + \gamma_{Q1} Q_{k1} + \gamma_{Q2} \psi_{02} Q_{k2} + \gamma_{Q3} \psi_{03} Q_{k3} + \dots$$

SLE - Combinazione caratteristica (rara) – per tensioni ammissibili

$$G_1 + G_2 + P + Q_{k1} + \psi_{02} Q_{k2} + \psi_{03} Q_{k3} + \dots$$

SLE - Combinazione frequente - reversibili

$$G_1 + G_2 + P + \psi_{11} Q_{k1} + \psi_{22} Q_{k2} + \psi_{23} Q_{k3} + \dots$$

SLE - Combinazione quasi permanente – a lungo termine

$$G_1 + G_2 + P + \psi_{21} Q_{k1} + \psi_{22} Q_{k2} + \psi_{23} Q_{k3} + \dots$$

SLU – SLE - Combinazione sismica

$$G_1 + G_2 + P + E + \psi_{21} Q_{k1} + \psi_{22} Q_{k2} + \psi_{23} Q_{k3} + \dots$$

SLU - Combinazione eccezionale

$$G_1 + G_2 + P + A_d + \psi_{21} Q_{k1} + \psi_{22} Q_{k2} + \psi_{23} Q_{k3} + \dots$$

In carichi sopra definiti, una volta definiti e assegnati, vengono combinati (par. 2.5.3) a seconda della categoria dell'azione variabile, e fattorizzati (par. 2.6) a seconda che l'azione che esercita il carico sulla struttura sia a vantaggio o a svantaggio di sicurezza, come riportato nelle seguenti tabelle.

Categoria/Azione variabile	Ψ_{0j}	Ψ_{1j}	Ψ_{2j}
Categoria A – Ambienti ad uso residenziale	0.7	0.5	0.3
Categoria B – Uffici	0.7	0.5	0.3
Categoria C – Ambienti suscettibili di affollamento	0.7	0.7	0.6
Categoria D – Ambienti d uso commerciale	0.7	0.7	0.6
Categoria E – Biblioteche, archivi, magazzini e ambienti industriali	1.0	0.9	0.8
Categoria F – Rimesse e parcheggi (per autoveicoli di peso ≤ 30 kN)	0.7	0.7	0.6
Categoria G – Rimesse e parcheggi (per autoveicoli di peso > 30 kN)	0.7	0.5	0.3
Categoria H – coperture accessibili per sola manutenzione	0.0	0.0	0.0
Categoria I – coperture praticabili	Da valutarsi caso per caso		
Categoria K – coperture per usi speciali (impianti, eliporti...)	caso		
Vento	0.6	0.2	0.0
Neve (a quota ≤ 1000 m s.l.m.)	0.5	0.2	0.0
Neve (a quota > 1000 m s.l.m.)	0.7	0.5	0.2
Variazioni termiche	0.6	0.5	0.0

Tab. 2.5.1 – Valori dei coefficienti di combinazione

		Coefficiente γ_F	EQU	A1 STR	A2 GEO
Carichi permanenti	favorevoli	γ_{G1}	0.9	1.0	1.0
	sfavorevoli		1.1	1.3	1.0
Carichi permanenti non strutturali ⁽¹⁾	favorevoli	γ_{G2}	0.8	0.8	0.8
	sfavorevoli		1.5	1.5	1.3
Carichi variabili	favorevoli	γ_{Qj}	0.0	0.0	0.0
	sfavorevoli		1.5	1.5	1.3
⁽¹⁾ per i carichi permanenti non strutturali compiutamente definiti si possono utilizzare gli stessi coefficienti dei carichi permanenti					

Tab. 2.6.1 – Coefficienti parziali per le azioni o per l'effetto delle azioni nelle verifiche SLU

Nel modello strutturale , non avendo considerato la copertura come elemento rigido per la ripartizione dei carichi, le sollecitazioni sono state applicate direttamente sui vari elementi strutturali in funzione della propria area di influenza.

3.5 FASCICOLO DI CALCOLO

Ciascun elemento strutturale ligneo è stato dimensionato considerando le sollecitazioni ricavate dalla risoluzione dello schema statico.

Si riporta di seguito la tabella delle sollecitazioni agenti e la verifica del elementi principali più sollecitati secondo le NTC 2018.

Sollecitazioni aste

Simbologia

Asta	=	Numero dell'asta
N1	=	Nodo1
N2	=	Nodo2
X	=	Coordinata progressiva rispetto al nodo iniziale

- N = Sforzo normale
- CC = Numero della combinazione delle condizioni di carico elementari
- Ty = Taglio in dir. Y
- Mz = Momento flettente intorno all'asse Z
- Tz = Taglio in dir. Z
- My = Momento flettente intorno all'asse Y
- Mx = Momento torcente intorno all'asse X

Asta	N1	N2	X <cm>	N <kg>	CC	Ty <kg>	CC	Mz <kgm>	CC	Tz <kg>	CC	My <kgm>	CC	Mx <kg m>	CC
1	1	101 Max	0.00	-304.60	7	416.54	7	522.96	7	236.54	1	702.54	1	0.00	7
1	1	101 Max	244.00	-204.20	7	416.54	7	460.85	7	236.54	1	158.38	1	0.00	7
1	1	101 Min.	0.00	-942.85	7	-379.52	7	-555.52	7	-559.52	1	-418.76	1	0.00	7
1	1	101 Min.	244.00	-842.45	7	-379.52	7	-403.06	7	-559.52	1	-662.69	1	0.00	7
2	2	102 Max	0.00	-304.60	7	416.54	7	522.96	7	559.52	1	418.76	1	0.00	7
2	2	102 Max	244.00	-204.20	7	416.54	7	460.85	7	559.52	1	662.69	1	0.00	7
2	2	102 Min.	0.00	-942.85	7	-379.52	7	-555.52	7	-236.54	1	-702.54	1	0.00	7
2	2	102 Min.	244.00	-842.45	7	-379.52	7	-403.06	7	-236.54	1	-158.38	1	0.00	7
3	3	103 Max	0.00	-304.60	7	379.52	7	555.52	7	236.54	1	702.54	1	0.00	7
3	3	103 Max	244.00	-204.20	7	379.52	7	403.06	7	236.54	1	158.38	1	0.00	7
3	3	103 Min.	0.00	-942.85	7	-416.54	7	-522.96	7	-559.52	1	-418.76	1	0.00	7
3	3	103 Min.	244.00	-842.45	7	-416.54	7	-460.85	7	-559.52	1	-662.69	1	0.00	7
4	4	104 Max	0.00	-304.60	7	379.52	7	555.52	7	559.52	1	418.76	1	0.00	7
4	4	104 Max	244.00	-204.20	7	379.52	7	403.06	7	559.52	1	662.69	1	0.00	7
4	4	104 Min.	0.00	-942.85	7	-416.54	7	-522.96	7	-236.54	1	-702.54	1	0.00	7
4	4	104 Min.	244.00	-842.45	7	-416.54	7	-460.85	7	-236.54	1	-158.38	1	0.00	7
101	101	102 Max	13.00	-161.50	1	0.00	7	0.00	7	587.93	14	251.99	1	0.00	7
101	101	102 Max	302.22									495.28	14		
101	101	102 Max	587.00	-161.50	1	0.00	7	0.00	7	-237.71	1	251.99	1	0.00	7
101	101	102 Min.	13.00	-230.34	13	0.00	7	0.00	7	237.71	1	-731.51	1	0.00	7
101	101	102 Min.	420.22									38.24	1		
101	101	102 Min.	587.00	-230.34	13	0.00	7	0.00	7	-587.93	13	-731.52	1	0.00	7
102	103	104 Max	13.00	-161.50	1	0.00	7	0.00	7	587.93	14	251.99	1	0.00	7
102	103	104 Max	302.22									495.28	14		
102	103	104 Max	587.00	-161.50	1	0.00	7	0.00	7	-237.71	1	251.99	1	0.00	7
102	103	104 Min.	13.00	-230.34	13	0.00	7	0.00	7	237.71	1	-731.51	1	0.00	7
102	103	104 Min.	420.22									38.24	1		
102	103	104 Min.	587.00	-230.34	13	0.00	7	0.00	7	-587.93	13	-731.52	1	0.00	7
103	101	103 Max	13.00	74.20	13	0.00	7	0.00	7	347.24	7	477.63	7	0.00	7
103	101	103 Max	269.75									62.14	3		
103	101	103 Max	387.00	74.20	13	0.00	7	0.00	7	346.73	16	477.63	7	0.00	7
103	101	103 Min.	13.00	-18.51	1	0.00	7	0.00	7	-335.77	15	-523.65	7	0.00	7
103	101	103 Min.	206.45									13.56	21		
103	101	103 Min.	387.00	-18.51	1	0.00	7	0.00	7	-347.24	7	-523.65	7	0.00	7
104	102	104 Max	13.00	74.20	13	0.00	7	0.00	7	347.24	7	477.63	7	0.00	7
104	102	104 Max	269.75									62.14	3		
104	102	104 Max	387.00	74.20	13	0.00	7	0.00	7	346.73	16	477.63	7	0.00	7

104 102 104 Min.	13.00	-18.51	1	0.00	7	0.00	7	-335.77	15	-523.65	7	0.00	7
104 102 104 Min.	206.45									13.56	21		
104 102 104 Min.	387.00	-18.51	1	0.00	7	0.00	7	-347.24	7	-523.65	7	0.00	7

Aluminium Hollow Section - Extrude Tube - no weld

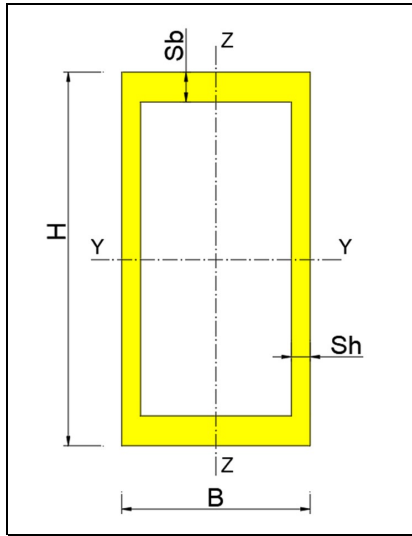
N - mm Kg - cm

Input	
Alluminiumm	Class A
fo	2150 Kg/cm ²
fu	1954,545455 Kg/cm ²
γ/m1	1,1
γ/m2	1,25
Geometry	
B	13 cm
H	13 cm
Sb	0,3 cm
Sh	0,3 cm
Loads	
N	942 Kg
Ty	380 Kg
Tz	560 Kg
My	55552 Kg*cm
Mz	41876 Kg*cm

Verifica Sezione

Output - Risultati

Area	15,24 cm ²
Iy	409,9052 cm ⁴
Iz	409,9052 cm ⁴
Wy	63,06233846 cm ³
Wz	63,06233846 cm ³
Wpl,y	72,594 mm ³
Wpl,z	72,594 mm ³



Reset OutPut

Spessori-Inerzie

Classificazione Sezione	
Classe	4

Fattore di riduzione	
ρc	0,685099359

Aeff	10,44 cm ²
Avy	7,44 cm ²
Avz	7,44 cm ²

Sollecitazioni Resistenti	
Nc,Rd	20407,24145 Kg
VRd,y	10086,4266 Kg
VRd,z	10086,4266 Kg

Weff,y	44,16204502 cm ³
Weff,z	44,16204502 cm ³
McRd,y	86316,72436 Kg*cm
McRd,z	86316,72436 Kg*cm

Coefficienti e Parametri	
β ^H	41,33333
β ^B	41,33333
β	41,33333

ε	1,078328
---	----------

	β ₁	β ₂	β ₃	
Class A	11,86161	17,25324	23,72321	
Class B				

β < β ₁	→ Class 1
β ₁ < β < β ₂	→ Class 2
β ₂ < β < β ₃	→ Class 3
β > β ₃	→ Class 4

Classificazione Sezione	
Classe	4

Fattore di riduzione	
ρc	0,685099359

Aeff	10,44 cm ²
Avy	7,44 cm ²
Avz	7,44 cm ²

Sollecitazioni Resistenti	
Nc,Rd	20407,24145 Kg
VRd,y	10086,4266 Kg
VRd,z	10086,4266 Kg

VERIFICHE

Verifica N	
N Ed / Nc,Rd < 1	0,04616 OK

Verifica Vy	
Vy Ed / VRd < 1	0,037674 OK

Verifica Vz	
Vz Ed / VRd < 1	0,05552 OK

Verifica N - My - Mz	
N+ (My+Mz) < 1	0,869969 OK

$$\left(\frac{N_{Ed}}{\omega_0 N_{Rd}} \right)^{\psi} + \left[\left(\frac{M_{y,Ed}}{\omega_0 M_{y,Rd}} \right)^{1,7} + \left(\frac{M_{z,Ed}}{\omega_0 M_{z,Rd}} \right)^{1,7} \right]^{0,6} \leq 1,00$$

GUIDE - UTILIZZO DEL FOGLIO:

INPUT:
fo, fu - resistenze Elastica e Ultima Alluminio
γm1, γm2- coeff. di sicurezza
N - Axial Load - Compression - Sforzo Normale
Ty - Shear along Y - Taglio parallelo a Y
Tz - Shear along Z - Taglio parallelo a Z
My - Bending around Y - Momento a Y
Mz - Bending around Z - Momento a Z

OUTPUT:
Classe - Class Section (1,2,3, or 4)
ρc - Reduction Factor
Nc,Rd - Cmpression Resistance
Vrd,y - Shear Resistance Y
Vrd,z - Shear Resistance Z
McRd,y - Bending Resistance Y
McRd,z - Bending Resistance Z

Weff,y Effective Elastic Modulus Y
Weff,z Effective Elastic Modulus Z

Verifica: Soll / Resist < 1 -> OK
Soll / Resist > 1 -> KO

EC9 -Tab. 6.2

	β ₁ / ε	β ₂ / ε	β ₃ / ε
Class A	11	16	22
Class B	13	16,5	18

Classe A o B a seconda del Materiale
Vedere EC9 tab 3.2 colonna BC. (Buckling Class)

$W_{eff,y}$	44,16204502	cm ³
$W_{eff,z}$	44,16204502	cm ³
$McRd,y$	86316,72436	Kg*cm
$McRd,z$	86316,72436	Kg*cm

Verifica N<1 **0,046160085** OK
 Verifica Vy<1 **0,037674393** OK
 Verifica Vz<1 **0,055520158** OK
 Verifica (N+M)<1 **0,86996873** OK vedi EC9 6.2.9.2

ρ_c	$\beta < \beta_3 \rightarrow$ Class 1, 2, 3	Vedi EC9 - 6.1.5
ρ_c 0,685099	$\beta > \beta_3 \rightarrow$ Class 4	

W_{eff}	Mod. Elastico calcolato con spess. ridotto da ρ_c
-----------	--

6.2.4 Compression

(1)P The design value of the axial compression force N_{Ed} shall satisfy:

$$\frac{N_{Ed}}{N_{c,Rd}} \leq 1,0 \quad (6.20)$$

(2) The design resistance for uniform compression $N_{c,Rd}$ should be taken as the lesser of $N_{u,Rd}$ and $N_{c,Rd}$ where :

a) in sections with unfilled holes $N_{u,Rd} = A_{net} f_u / \gamma_{M2}$ (6.21)

b) other sections $N_{c,Rd} = A_{eff} f_o / \gamma_{M1}$ (6.22)

in which:

A_{net} is the net section area, with deductions for unfilled holes and HAZ softening if necessary. See 6.2.2.2. For holes located in reduced thickness regions the deduction may be based on the reduced thickness, instead of the full thickness.

A_{eff} is the effective section area based on reduced thickness allowing for local buckling and HAZ softening but ignoring unfilled holes.

6.2.6 Shear

(1)P The design value of the shear force V_{Ed} at each cross-section shall satisfy:

$$\frac{V_{Ed}}{V_{Rd}} \leq 1,0$$

$$V_{Rd} = A_v \frac{f_o}{\sqrt{3} \gamma_{M1}} \quad (6.29)$$

where A_v is the shear area, taken as:

a) For sections containing shear webs

$$A_v = \sum_{i=1}^n [(h_w - \sum d)(t_w)_i - (1 - \rho_{o,haaz})b_{haaz}(t_w)_i] \quad (6.30)$$

where:

h_w is the depth of the web between flanges.

b_{haaz} is the total depth of HAZ material occurring between the clear depth of the web between flanges. For sections with no welds, $\rho_{o,haaz} = 1$. If the HAZ extends the entire depth of the web panel $b_{haaz} = h_w - \sum d$

t_w is the web thickness

Aluminium Hollow Section - Extrude Tube - no weld

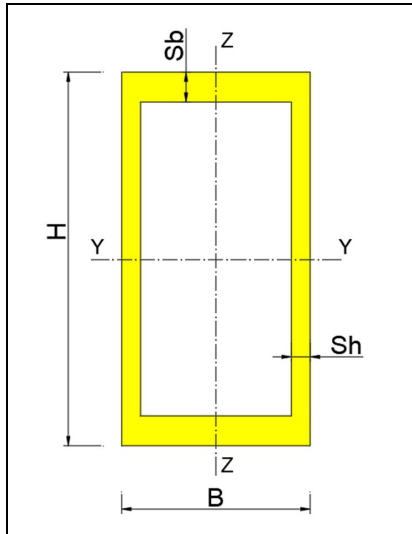
N - mm Kg - cm

Input	
Alluminiumm	Class A
fo	2150 Kg/cm ²
fu	1954,545455 Kg/cm ²
γ/m1	1,1
γ/m2	1,25
Geometry	
B	6 cm
H	26 cm
Sb	0,3 cm
Sh	0,3 cm
Loads	
N	234 Kg
Ty	237 Kg
Tz	0 Kg
My	73100 Kg*cm
Mz	0 Kg*cm

Verifica Sezione

Output - Risultati

Area	18,84 cm ²
Iy	1413,8212 cm ⁴
Iz	134,7012 cm ⁴
Wy	108,7554769 cm ³
Wz	44,9004 cm ³
Wpl,y	143,034 mm ³
Wpl,z	48,834 mm ³



Reset OutPut

Spessori-Inerzie

Classificazione Sezione	
Classe	4

Fattore di riduzione	
ρc	0,37187082

Aeff	7,01 cm ²
Avy	3,24 cm ²
Avz	15,24 cm ²

Sollecitazioni Resistenti	
Nc,Rd	13693,63586 Kg
VRd,y	4392,4761 Kg
VRd,z	20660,9061 Kg

Weff,y	41,75144875 cm ³
Weff,z	17,95925841 cm ³
McRd,y	81605,10438 Kg*cm
McRd,z	35102,1869 Kg*cm

Classificazione Sezione	
Classe	4

Fattore di riduzione	
ρc	0,37187082

Aeff	7,01 cm ²
Avy	3,24 cm ²
Avz	15,24 cm ²

Sollecitazioni Resistenti	
Nc,Rd	13693,63586 Kg
VRd,y	4392,4761 Kg
VRd,z	20660,9061 Kg

Coefficienti e Parametri	
--------------------------	--

β ^H	84,66667
β ^B	18
β	84,66667

ε	1,078328
---	----------

	β ₁	β ₂	β ₃
Class A	11,86161	17,25324	23,72321
Class B			

β < β ₁	→ Class 1
β ₁ < β < β ₂	→ Class 2
β ₂ < β < β ₃	→ Class 3
β > β ₃	→ Class 4

VERIFICHE

Verifica N	
N Ed / Nc,Rd < 1	0,017088 OK

Verifica Vy	
Vy Ed / VRd < 1	0,053956 OK

Verifica Vz	
Vz Ed / VRd < 1	0 OK

Verifica N - My - Mz	
N+ (My+Mz) < 1	0,898848 OK

$$\left(\frac{N_{Ed}}{\omega_0 N_{Rd}} \right)^{\psi} + \left[\left(\frac{M_{y,Ed}}{\omega_0 M_{y,Rd}} \right)^{1,7} + \left(\frac{M_{z,Ed}}{\omega_0 M_{z,Rd}} \right)^{1,7} \right]^{0,6} \leq 1,00$$

GUIDE - UTILIZZO DEL FOGLIO:

INPUT:
fo, fu - resistenze Elastica e Ultima Alluminio
γm1, γm2- coeff. di sicurezza
N - Axial Load - Compression - Sforzo Normale
Ty - Shear along Y - Taglio parallelo a Y
Tz - Shear along Z - Taglio parallelo a Z
My - Bending around Y - Momento a Y
Mz - Bending around Z - Momento a Z

OUTPUT:
Classe - Class Section (1,2,3, or 4)
ρc - Reduction Factor
Nc,Rd - Cmpression Resistance
Vrd,y - Shear Resistance Y
Vrd,z - Shear Resistance Z
McRd,y - Bending Resistance Y
McRd,z - Bending Resistance Z

Weff,y Effective Elastic Modulus Y
Weff,z Effective Elastic Modulus Z

Verifica: Soll / Resist < 1 -> OK
Soll / Resist > 1 -> KO

EC9 -Tab. 6.2

	β ₁ / ε	β ₂ / ε	β ₃ / ε
Class A	11	16	22
Class B	13	16,5	18

Classe A o B a seconda del Materiale
Vedere EC9 tab 3.2 colonna BC. (Buckling Class)

Aluminium Hollow Section - Extrude Tube - no weld

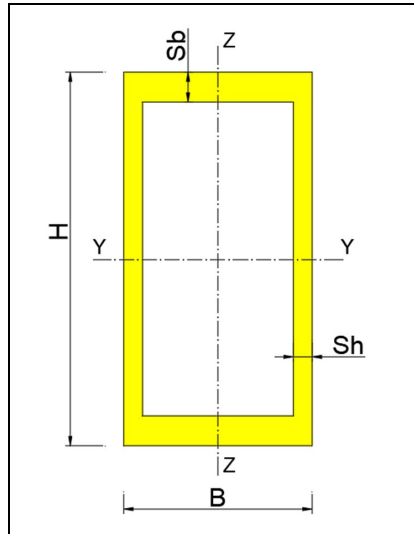
N - mm Kg - cm

Input	
Alluminiumm	Class A
fo	2150 Kg/cm ²
fu	1954,545455 Kg/cm ²
γ/m1	1,1
γ/m2	1,25
Geometry	
B	5,2 cm
H	8 cm
Sb	0,3 cm
Sh	0,3 cm
Loads	
N	0 Kg
Ty	120 Kg
Tz	0 Kg
My	12000 Kg*cm
Mz	0 Kg*cm

Verifica Sezione

Output - Risultati

Area	7,56 cm ²
Iy	66,5308 cm ⁴
Iz	33,7148 cm ⁴
Wy	16,6327 cm ³
Wz	12,96723077 cm ³
Wpl,y	20,226 mm ³
Wpl,z	14,934 mm ³



Reset OutPut

Spessori-Inerzie

Classificazione Sezione	
Classe	4

Fattore di riduzione	
ρc	0,978472357

Aeff	7,4 cm ²
Avy	2,76 cm ²
Avz	4,44 cm ²

Sollecitazioni Resistenti	
Nc,Rd	14458,26336 Kg
VRd,y	3741,7389 Kg
VRd,z	6019,3191 Kg

Weff,y	16,31937661 cm ³
Weff,z	12,73157324 cm ³
McRd,y	31896,96337 Kg*cm
McRd,z	24884,4386 Kg*cm

Classificazione Sezione	
Classe	4

Fattore di riduzione	
ρc	0,978472357

Aeff	7,4 cm ²
Avy	2,76 cm ²
Avz	4,44 cm ²

Sollecitazioni Resistenti	
Nc,Rd	14458,26336 Kg
VRd,y	3741,7389 Kg
VRd,z	6019,3191 Kg

Coefficienti e Parametri

β ^H	24,66667
β ^B	15,33333
β	24,66667

ε	1,078328
---	----------

	β ₁	β ₂	β ₃
Class A	11,86161	17,25324	23,72321
Class B			

β < β ₁	→ Class 1
β ₁ < β < β ₂	→ Class 2
β ₂ < β < β ₃	→ Class 3
β > β ₃	→ Class 4

VERIFICHE

Verifica N	
N Ed / Nc,Rd < 1	0 OK

Verifica Vy	
Vy Ed / VRd < 1	0,032071 OK

Verifica Vz	
Vz Ed / VRd < 1	0 OK

Verifica N - My - Mz	
N+ (My+Mz) < 1	0,368927 OK

$$\left(\frac{N_{Ed}}{\omega_0 N_{Rd}} \right)^{\psi} + \left[\left(\frac{M_{y,Ed}}{\omega_0 M_{y,Rd}} \right)^{1,7} + \left(\frac{M_{z,Ed}}{\omega_0 M_{z,Rd}} \right)^{1,7} \right]^{0,6} \leq 1,00$$

GUIDE - UTILIZZO DEL FOGLIO:

INPUT:
fo, fu - resistenze Elastica e Ultima Alluminio
γm1, γm2- coeff. di sicurezza
N - Axial Load - Compression - Sforzo Normale
Ty - Shear along Y - Taglio parallelo a Y
Tz - Shear along Z - Taglio parallelo a Z
My - Bending around Y - Momento a Y
Mz - Bending around Z - Momento a Z

OUTPUT:
Classe - Class Section (1,2,3, or 4)
ρc - Reduction Factor
Nc,Rd - Cmpression Resistance
Vrd,y - Shear Resistance Y
Vrd,z - Shear Resistance Z
McRd,y - Bending Resistance Y
McRd,z - Bending Resistance Z

Weff,y Effective Elastic Modulus Y
Weff,z Effective Elastic Modulus Z

Verifica: Soll / Resist < 1 -> OK
Soll / Resist > 1 -> KO

EC9 -Tab. 6.2

	β ₁ / ε	β ₂ / ε	β ₃ / ε
Class A	11	16	22
Class B	13	16,5	18

Classe A o B a seconda del Materiale
Vedere EC9 tab 3.2 colonna BC. (Buckling Class)

d is the diameter of holes along the shear plane
 n is the number of webs.

6.2.9.2 Hollow sections and solid cross-sections

(1) Hollow sections and solid cross-sections should satisfy the following criterion:

$$\left[\frac{N_{Ed}}{\alpha_0 N_{Rd,j}} \right]^\psi + \left[\left(\frac{M_{y,Ed}}{\alpha_0 M_{y,Rd}} \right)^{1,7} + \left(\frac{M_{x,Ed}}{\alpha_0 M_{x,Rd}} \right)^{1,7} \right]^{0,6} \leq 1,00 \quad (6.43)$$

where $\psi = 1,3$ for hollow sections and $\psi = 2$ for solid cross-sections. Alternatively ψ may be taken as α_y, α_z but $1 \leq \psi \leq 1,3$ for hollow sections and $1 \leq \psi \leq 2$ for solid cross-sections.

4. STRUTTURA IN LEGNO COPERTA DIMENSIONI FUORI TERRA 600X490X300

Trattasi di una struttura lignea identificabile come gazebo a pianta rettangolare. Il manufatto ha dimensione fuori terra pari a 6.00mlx4.90ml altezza sotto travetto 3.00ml con leggera pendenza della copertura per consentire il regolare deflusso delle acque meteoriche.

Gli elementi portanti della struttura di legno coperta 9600x490 sono 06 pilastri verticali in legno tipo lamellare incollato BS11- GLH24 sezione 18x18, travi perimetrali e di collegamento sempre sezione 18x18 e travicelli di falda sezione 12x12 interasse 77cm con interposto doppio tavolato incrociato . Tutti gli elementi lignei sono in legno lamellare incollato tipo BS11-Glh24.

La fondazione della struttura è formata da una platea sezione 20cm appoggiata su 10 cm di magrone impostato a -40cm rispetto al piano di campagna.

La platea è armata con doppia rete elettrosaldata diam 12mm maglia 20x20.

I pilastri sono vincolati alla platea mediante dei piedini in acciaio regolabili composti da una piastra inferiore tassellata alla platea, un perno di regolazione centrale ed una piastra superiore di appoggio per il pilastro.

L'utilizzo del piede regolabile consente di vincolare il pilastro direttamente alla platea pur permettendo la posa della pavimentazione sotto l'elemento ligneo verticale.

In copertura il tavolato viene posto in opera in aggetto per la realizzazione di una gronda perimetrale di 30cm andante.

La copertura è poi completata con posa di guaina impermeabilizzante, manto e lattonerie.

I collegamenti tra i vari elementi portanti della struttura sono realizzati mediante staffe a scomparsa in acciaio, mentre l'aggancio dei travetti alle travi principali avviene mediante staffe a L.

4.1 RELAZIONE DI CALCOLO

Dal punto di vista strutturale l'intervento si configura come nuova costruzione ai sensi delle NTC 2018.

Il manufatto è stato dimensionato considerando la sovrastruttura incastrata alla base e sollecitata da vento, neve e sisma nelle combinazioni di carico previste dalla normativa.

Le sollecitazioni ricavate poi dalla verifica dinamica della sovrastruttura sono state poi applicate alla platea sottostante per il dimensionamento della stessa e per la verifica della portanza del terreno.

La sovrastruttura è stata dimensionata mediante l'ausilio di un modellatore strutturale Modest e sono stati sulla stessa applicati i carichi neve e vento come da normativa vigente.

Ipotesi progettuali comuni a tutti i manufatti dimensionati sono:

- $q=1$
- Classe III: Costruzioni il cui uso preveda affollamenti significativi - SCUOLE

Simbologia

TCC	=Tipo di combinazione di carico
SLU	= Stato limite ultimo
SLU S	= Stato limite ultimo (azione sismica)
SLE R	= Stato limite d'esercizio, combinazione rara
SLE F	= Stato limite d'esercizio, combinazione frequente
SLE Q	= Stato limite d'esercizio, combinazione quasi permanente
SLD	= Stato limite di danno
SLV	= Stato limite di salvaguardia della vita
SLC	= Stato limite di prevenzione del collasso
SLO	= Stato limite di operatività
Ag	=Accelerazione orizzontale massima al sito
FO	=Valore massimo del fattore di amplificazione dello spettro in accelerazione orizzontale
TC*	=Periodo di inizio del tratto a velocità costante dello spettro in accelerazione orizzontale

TCC	Ag	FO	TC*
SLO	0.5481	2.57	0.26
SLD	0.6588	2.58	0.27
SLV	1.5237	2.40	0.31

- Tipo di opera: Opera ordinaria
- Vita nominale V_N : 50.00
- Classe d'uso: classe III
- SL Esercizio: SLO-Pvr 81.00, SLD-Pvr 63.00
- SL Ultimi: SLV-Pvr 10.00, SLC-Pvr no
- Classe di duttilità: classe B
- Quota di riferimento: 0.00 <m>
- Altezza della struttura: 2.80 <m>
- Numero piani edificio: 1
- Coefficiente θ : 0
- Edificio regolare in altezza: si
- Edificio regolare in pianta: si
- Forze orizzontali convenzionali per stati limite non sismici: 1.00%

Dati di calcolo

- Categoria del suolo di fondazione: B
- Tipologia edificio: legno a portali iperstatici in classe

Coeff. C_1	0.05
Periodo T_1	0.1082
	3
Coeff. λ SLO	1.00
Coeff. λ SLD	1.00
Coeff. λ SLV	1.00
Rapporto di sovrarresistenza (α_u/α_1)	--
Fattore riduttivo (K_w)	1.00
Fattore di struttura (q)	1.00

- Categoria topografica: T1 - Superficie pianeggiante, pendii e rilievi isolati con inclinazione media $i \leq 15^\circ$
- Coeff. amplificazione topografica: 1.00
- Fattore di struttura per sisma verticale (qv): 1.50
- Modi da calcolare: 3
- Modi da considerare: tali da movimentare una percentuale di massa pari a 85.00%
- Smorzamento spettro: 5.00

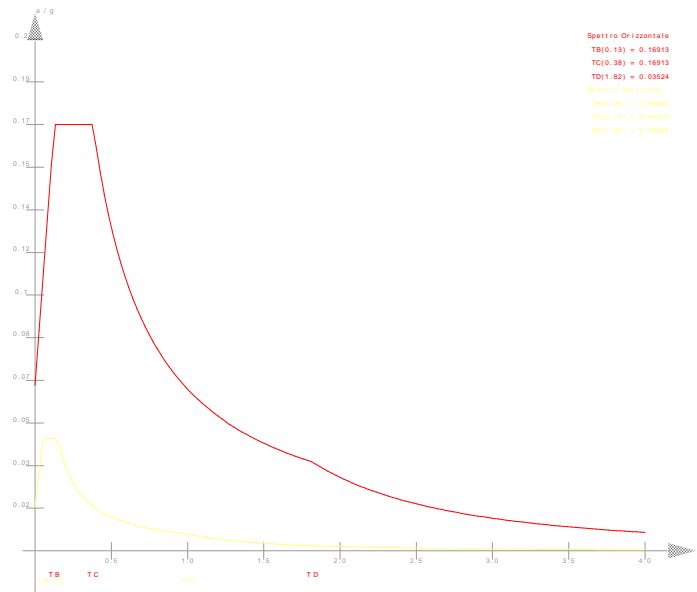


Figura numero 1: Spettro allo SLO

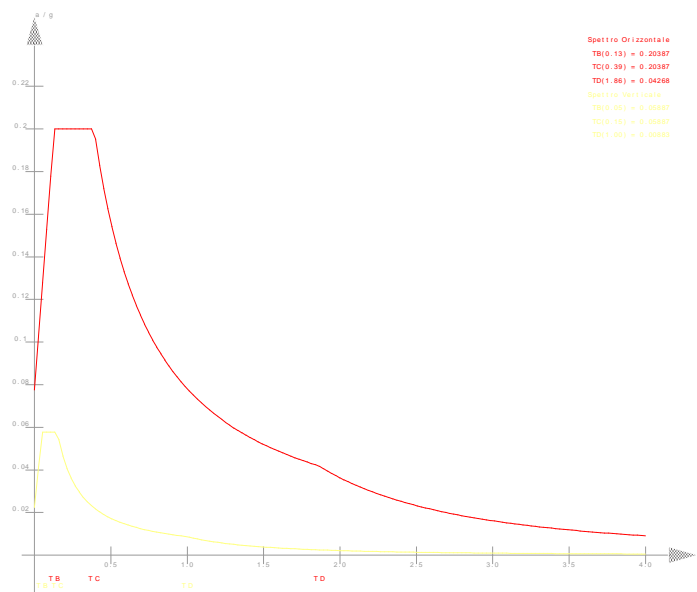


Figura numero 2: Spettro allo SLD

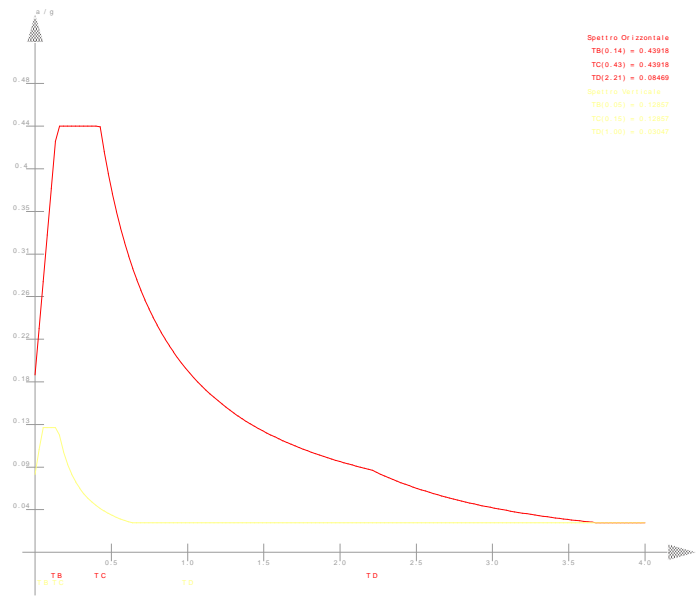
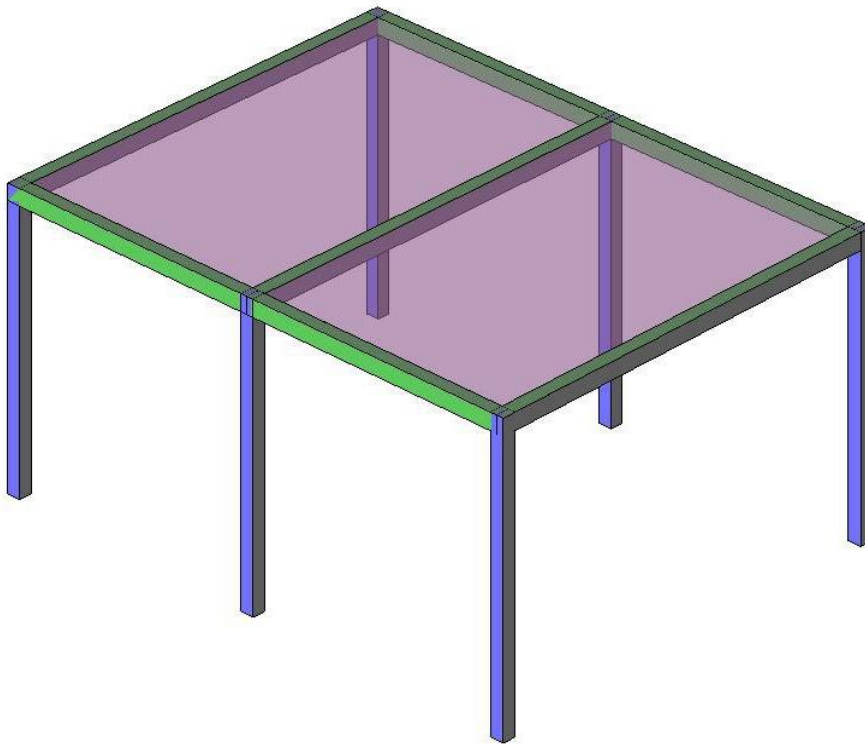


Figura numero 3: Spettro allo SLV

- Angolo di ingresso del sisma: 0.00 <grad>



4.2 RELAZIONE SUI MATERIALI

Acciaio per c.a. in barre ad aderenza migliorata:

Tensione di snervamento: **B450C**

$$f_{yk} \geq 4500 \text{ Kg/cm}^2$$

Conglomerato cementizio armato per strutture di fondazione:

C28/35

Classe di consistenza S4, Dimensione max inerte < 24 mm
 Resistenza di progetto a compressione: $f_{cd} = 158.7 \text{ Kg/cm}^2$
 Resistenza di progetto a trazione: $f_{ctd} = 12.9 \text{ Kg/cm}^2$
 Classe di esposizione XC2
 Da tabella 4.1.III delle NTC condizioni ambientali ordinarie: copriferro $\geq 25 \text{ mm}$

Acciaio da carpenteria

Tutti gli elementi dovranno avere un modulo di elasticità non inferiore a 206000 N/mmq.

Profilati, larghi piatti, barre e lamiere

Acciaio tipo S 235 con le seguenti caratteristiche:

Tensione caratteristica di snervamento $\geq 235 \text{ N/mmq}$
 Tensione di rottura a trazione $\geq 390 \text{ N/mmq}$
 Allungamento percentuale a rottura per lamiere $\geq 24\%$
 Allungamento percentuale a rottura per barre, laminati, profilati e larghi piatti $\geq 26\%$

Bulloneria

Classe 4.6

LEGNO LAMELLARE

Valori caratteristici delle proprietà di resistenza e rigidità espressi in N/mm2 e delle masse volumiche in kg/m3.

Classe di resistenza del legno lamellare		GL 24h	GL 28c	GL 32c
Resistenza alla flessione	$f_{m,g,k}$	24	28	36
Resistenza alla trazione	$f_{t,0,g,k}$	16,5	16,5	19
	$f_{t,90,g,k}$		0,5	
Resistenza alla pressione	$f_{c,0,g,k}$	24	24	26,5
	$f_{c,90,g,k}$	2,7	2,7	3,0
Resistenza al taglio	$f_{v,g,k}^{a)}$		2,5	
Modulo di elasticità	$E_{0,g,mean}^{c)}$	11.600	12.600	13.700
	$E_{90,g,mean}^{c)}$	390	390	420
Modulo di taglio	$G_{g,mean}^{b)c)}$	720	720	780
Masse volumiche	$\rho_{g,k}$	380	380	410

a) La resistenza caratteristica al taglio perpendicolare alla fibratura $f_{g,r,k}$ può essere calcolata per tutte le classi di resistenza a $1,0 \text{ N/mm}^2$.

b) Il modulo di taglio relativo alla sollecitazione del taglio perpendicolare alla fibratura dev'essere assunto con $G_{g,r,k} = 0,10 G_{g,mean}$

c) Per i valori caratteristici di riferimento di rigidità $E_{g,0,05}$; $E_{g,90,0,05}$ e $G_{g,0,05}$ valgono i valori di calcolo $E_{g,0,0,05} = 5/6 E_{g,0,mean}$; $E_{g,90,0,05} = 5/6 E_{g,90,mean}$; $G_{g,0,05} = 5/6 G_{g,mean}$

DIN 1052-1/A1: 1996-10	DIN 1052: 2008-10
BS 11	GL 24h1) GL 24c2)
BS 14	GL 28h1) GL 28c2)
BS 16	GL 32h1) GL 32c2)
BS 18	GL 36h1) GL 36c2)
1) h = struttura omogenea 2) c = struttura combinata	

4.3 RELAZIONE DI FONDAZIONE

Di seguito si procede al calcolo della tensione trasmessa dalla struttura astiforme a alla platea di fondazione.

Dall'analisi delle reazioni vincolari alla base di ciascun elemento portante verticale si procede al dimensionamento della platea di fondazione ed al calcolo della tensione massima trasmessa da questa al terreno sottostante.

Si è proceduto ad una doppia verifica: la verifica STRU della platea e la verifica GEO con la quale si è ricavato il valore del carico massimo sul terreno da confrontare con il carico limite indicato nella relazione geologico-tecnica allegata alla presente pratica.

Reazioni vincolari

Simbologia

Nodo	=	Numero del nodo
Rx	=	Reazione vincolare (forza) in dir. X
CC	=	Numero della combinazione delle condizioni di carico elementari
Ry	=	Reazione vincolare (forza) in dir. Y
Rz	=	Reazione vincolare (forza) in dir. Z
Mx	=	Reazione vincolare (momento) intorno all'asse X
My	=	Reazione vincolare (momento) intorno all'asse Y
Mz	=	Reazione vincolare (momento) intorno all'asse Z

Nodo	Rx	CC	Ry	CC	Rz	CC	Mx	CC	My	CC	Mz	CC
	<kg>		<kg>		<kg>		<kgm>		<kgm>		<kgm>	
1 Max	270.43	13	459.06	7	697.59	13	315.65	19	414.39	13	4.41	13
1 Min.	-265.73	1	-128.38	19	33.20	25	-621.63	7	-410.08	1	-4.41	1
2 Max	348.82	13	545.76	19	1044.11	7	169.95	7	486.93	13	4.41	13
2 Min.	-348.85	1	10.74	7	683.45	31	-684.89	19	-486.99	1	-4.41	1
3 Max	258.83	13	458.83	19	691.09	1	315.83	7	403.66	13	4.41	13
3 Min.	-263.48	1	-128.58	7	33.37	26	-621.42	19	-408.00	1	-4.41	1
5 Max	270.43	1	128.38	7	697.59	1	621.63	19	414.39	1	4.41	13
5 Min.	-265.73	13	-459.06	19	22.88	25	-315.65	7	-410.08	13	-4.41	1
6 Max	348.82	1	-10.74	19	1044.11	19	684.89	7	486.93	1	4.41	13
6 Min.	-348.85	13	-545.76	7	676.56	32	-169.95	19	-486.99	13	-4.41	1

VERIFICA GEO DELLA PLATEA

APPROCCIO 2 (A1 + M1 + R3)

azioni incrementate, parametrici geotecnici invariati, resistenze ridotte

GammaG1 (*)	1,3	gammaM
GammaG2 (*)	1,5	gammaR
GammaQ (*)	1,5	Kh sismico

VERIFICA ALLO SLU DI TIPO GEOTECNICO

CALCOLO DEL CARICO LIMITE INSIEME FONDAZIONE-TERRENO

Dati terreno

angolo d'attrito fi	gradi	25
peso specifico 1	t/mc	1,70
peso specifico 2	t/mc	1,80
coesione c'	t/mq	0,00
inclinazione del pendio	gradi	0 ok
profondità della falda dw	m	100
tipo di terreno	C/A	PD

Geometria fondazione

profondità di posa D	m	0,45
base B	m	1,00
lunghezza L (L>B)	m	1,00
eccentricità Eb	m	0,00
eccentricità El	m	0,00
inclinazione del carico effettiva	gradi	0,00

Dati di calcolo

inclinazione del carico sismica	gradi	3,60
inclinazione del carico totale	gradi	3,60487
B" (= B o B')	m	1
L" (= L o L')	m	1
c" (= c o c*)	t/mq	0,00
fi" (= fi o fi*)	gradi	25
Nq		10,66
Ng		10,88
Nc		20,72
fq		1,466
fg		0,600
fc		1,514
iq		0,960
ig		0,856
ic		0,960
eq		1,000
eg		1,000
ec		1,000

Risultati

qlim	t/mq	17
gammaR		1,00
qRd	t/mq	17
kwinkler	DaN/cm3	0,66

PLATEA					
GEOMETRIA					
Dimensioni	(cm)	bx	by	Bx	By
		18	18	45	45
H plinto	(cm)	20			
copriferro	(cm)	3			
d	(cm)	17			
SOLLECITAZIONI - MATERIALI					
Azioni agenti SLU (KN-KNm)		Nsd	Msd x	Msd_y	
		10,45	6,85	4,87	
PRESSIONI					
Pressioni sul terreno	MPa	σ_1	σ_2	σ_3	σ_4
		0,906	0,179	-0,116	-0,843

La verifica geo risulta soddisfatta in quanto $0.91 < 1.70$.

VERIFICA STRU DELLA PLATEA

Si considera una sezione della platea 40x40x20 in corrispondenza della quale vengono trasmesse le reazioni vincolari dei pilastri e si procede alla verifica geo della sezione.

Verifica C.A. S.L.U. - File:

File Materiali Opzioni Visualizza Progetto Sez. Rett. Sismica Normativa: NTC 2018 ?

Titolo : _____

N° strati barre Zoom

N°	b [cm]	h [cm]
1	40	20

N°	As [cm²]	d [cm]
1	3,14	3
2	3,14	17

Tipologia Sezione:
 Rettan.re Trapezi
 a T Circolare
 Rettangoli Coord.
 DXF

File:

Tipologia Sollecitazioni:
 S.L.U. Metodo n

Carichi:
 N_{Ed} 10,45 kN
 M_{xEd} 6,85 kNm
 M_{yEd} 4,87 kNm

P.to applicazione N:
 Centro Baricentro cls
 Coord.[cm] xN yN

Tipologia rottura:
 Lato calcestruzzo - Acciaio snervato

Materiali:
 B450C C28/35
 ϵ_{su} 67,5 ‰ ϵ_{c2} 2 ‰
 f_{yd} 391,3 N/mm² ϵ_{cu} 3,5 ‰
 E_s 200.000 N/mm² f_{cd} 15,87
 E_s/E_c 15 f_{cc}/f_{cd} 0,8
 ϵ_{syd} 1,957 ‰ $\sigma_{c,adm}$ 11
 $\sigma_{s,adm}$ 255 N/mm² τ_{co} 0,6667
 τ_{c1} 1,971

M_{xRd} 20,59 kNm
 σ_c -15,87 N/mm²
 σ_s 391,3 N/mm²
 ϵ_c 3,5 ‰
 ϵ_s 17,47 ‰
d 17 cm
x 2,837 x/d 0,1669
 δ 0,7

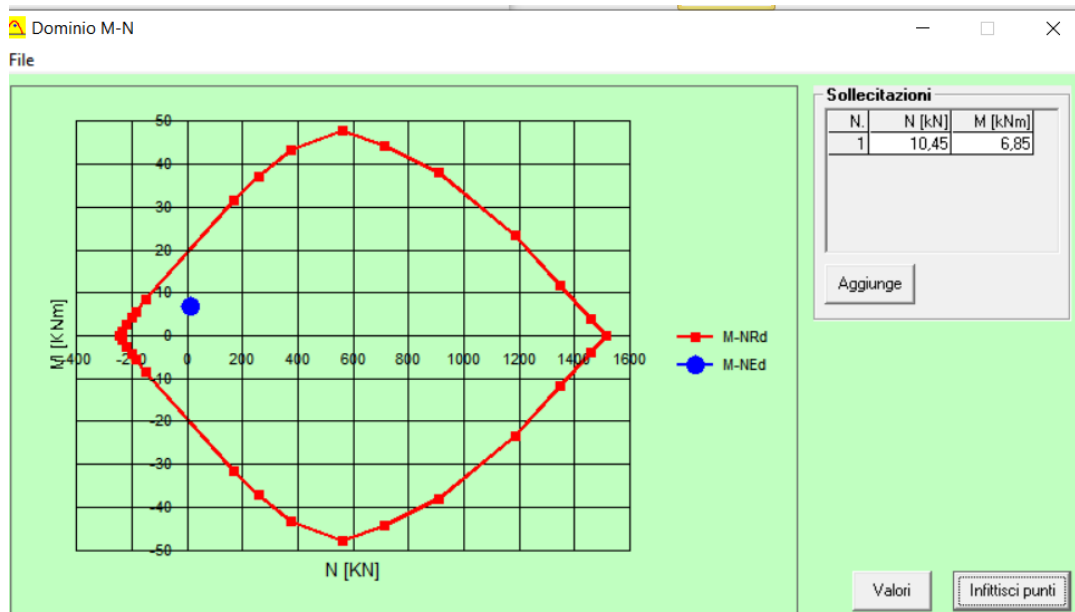
Metodo di calcolo:
 S.L.U.+ S.L.U.-
 Metodo n

Tipologia flessione:
 Retta Deviata

N° rett. 100

 L_0 0 cm

 Precompresso



4.4 RELAZIONE DI CALCOLO

ANALISI DEI CARICHI

L' **ANALISI DEI CARICHI** per la determinazione delle forze statiche agenti sulla struttura in esame è stata effettuata in modo tale da pervenire alle condizioni più gravose nei confronti delle verifiche da effettuare.

I carichi d'esercizio assunti a base dei calcoli, oltre il peso proprio delle strutture portanti ed ai sovraccarichi permanenti conformemente alla destinazione specifica dei locali ed a quelli stabiliti dalle NTC 2018 sono stati i seguenti:

CARICHI VERTICALI DISTRIBUITI – STATO di PROGETTO

G+QPS+QPN		25	Kg/mq
VENTO	SOPR	27	Kg/mq
VENTO	SOTT	54	Kg/mq
CARICO NEVE	Qacc	80	Kg/mq

La determinazione delle caratteristiche della sollecitazione provocate nelle strutture è stata effettuata con i **METODI DELLA SCIENZA DELLE COSTRUZIONI**, basati sull'ipotesi dell'elasticità lineare dei materiali e cumulando le condizioni di carico nel modo più sfavorevole.

Tutte le verifiche di resistenza del legno sono state eseguite con l'applicazione del **METODO DEGLI STATI LIMITE** , tenendo conto delle condizioni più gravose possibili di carico.

Le caratteristiche delle azioni sollecitanti ricavate in base alle combinazioni, secondo quanto stabilito al **p.to 2.5.3 del D.M. 17.01.2018** risultano inferiori alle azioni resistenti per tutti gli stati limite previsti dal suddetto decreto

SLU - Combinazione fondamentale

$$\gamma_{G1} G_1 + \gamma_{G2} G_2 + \gamma_P P + \gamma_{Q1} Q_{k1} + \gamma_{Q2} \psi_{02} Q_{k2} + \gamma_{Q3} \psi_{03} Q_{k3} + \dots$$

SLE - Combinazione caratteristica (rara) – per tensioni ammissibili

$$G_1 + G_2 + P + Q_{k1} + \psi_{02} Q_{k2} + \psi_{03} Q_{k3} + \dots$$

SLE - Combinazione frequente - reversibili

$$G_1 + G_2 + P + \psi_{11} Q_{k1} + \psi_{22} Q_{k2} + \psi_{23} Q_{k3} + \dots$$

SLE - Combinazione quasi permanente – a lungo termine

$$G_1 + G_2 + P + \psi_{21} Q_{k1} + \psi_{22} Q_{k2} + \psi_{23} Q_{k3} + \dots$$

SLU – SLE - Combinazione sismica

$$G_1 + G_2 + P + E + \psi_{21} Q_{k1} + \psi_{22} Q_{k2} + \psi_{23} Q_{k3} + \dots$$

SLU - Combinazione eccezionale

$$G_1 + G_2 + P + A_d + \psi_{21} Q_{k1} + \psi_{22} Q_{k2} + \psi_{23} Q_{k3} + \dots$$

In carichi sopra definiti, una volta definiti e assegnati, vengono combinati (par. 2.5.3) a seconda della categoria dell'azione variabile, e fattorizzati (par. 2.6) a seconda che l'azione che esercita il carico sulla struttura sia a vantaggio o a svantaggio di sicurezza, come riportato nelle seguenti tabelle.

Categoria/Azione variabile	Ψ_{0j}	Ψ_{1j}	Ψ_{2j}
Categoria A – Ambienti ad uso residenziale	0.7	0.5	0.3
Categoria B – Uffici	0.7	0.5	0.3
Categoria C – Ambienti suscettibili di affollamento	0.7	0.7	0.6
Categoria D – Ambienti d uso commerciale	0.7	0.7	0.6
Categoria E – Biblioteche, archivi, magazzini e ambienti industriali	1.0	0.9	0.8
Categoria F – Rimesse e parcheggi (per autoveicoli di peso ≤ 30 kN)	0.7	0.7	0.6
Categoria G – Rimesse e parcheggi (per autoveicoli di peso > 30 kN)	0.7	0.5	0.3
Categoria H – coperture accessibili per sola manutenzione	0.0	0.0	0.0
Categoria I – coperture praticabili	Da valutarsi caso per caso		
Categoria K – coperture per usi speciali (impianti, eliporti...)	caso		
Vento	0.6	0.2	0.0
Neve (a quota ≤ 1000 m s.l.m.)	0.5	0.2	0.0
Neve (a quota > 1000 m s.l.m.)	0.7	0.5	0.2
Variazioni termiche	0.6	0.5	0.0

Tab. 2.5.1 – Valori dei coefficienti di combinazione

		Coefficiente γ_F	EQU	A1 STR	A2 GEO
Carichi permanenti	favorevoli	γ_{G1}	0.9	1.0	1.0
	sfavorevoli		1.1	1.3	1.0
Carichi permanenti non strutturali ⁽¹⁾	favorevoli	γ_{G2}	0.8	0.8	0.8
	sfavorevoli		1.5	1.5	1.3
Carichi variabili	favorevoli	γ_{Qj}	0.0	0.0	0.0
	sfavorevoli		1.5	1.5	1.3

⁽¹⁾ per i carichi permanenti non strutturali compiutamente definiti si possono utilizzare gli stessi coefficienti dei carichi permanenti

Tab. 2.6.1 – Coefficienti parziali per le azioni o per l'effetto delle azioni nelle verifiche SLU

Nel modello strutturale , non avendo considerato la copertura come elemento rigido per la ripartizione dei carichi, le sollecitazioni sono state applicate direttamente sui vari elementi strutturali in funzione della propria area di influenza.

4.5 FASCICOLO DI CALCOLO

Ciascun elemento strutturale ligneo è stato dimensionato considerando le sollecitazioni ricavate dalla risoluzione dello schema statico.

Si riporta di seguito la tabella delle sollecitazioni agenti e la verifica del elementi principali più sollecitati secondo le NTC 2018.

Sollecitazioni aste

Sollecitazioni aste

Simbologia

Asta	=	Numero dell'asta
------	---	------------------

N1	=	Nodo1
N2	=	Nodo2
X	=	Coordinata progressiva rispetto al nodo iniziale
N	=	Sforzo normale
CC	=	Numero della combinazione delle condizioni di carico elementari
Ty	=	Taglio in dir. Y
Mz	=	Momento flettente intorno all'asse Z
Tz	=	Taglio in dir. Z
My	=	Momento flettente intorno all'asse Y
Mx	=	Momento torcente intorno all'asse X

Asta	N1	N2	X	N	CC	Ty	CC	Mz	CC	Tz	CC	My	CC	Mx	CC
			<cm>	<kg>		<kg>		<kgm>		<kg>		<kgm>		<kgm>	
1	1	101 Max	0.00	-33.20	25	459.06	7	315.65	19	265.73	1	414.39	13	4.41	1
1	1	101 Max	264.00	-5.02	25	459.06	7	590.28	7	265.73	1	291.46	1	4.41	1
1	1	101 Min.	0.00	-697.59	13	-128.38	19	-621.63	7	-270.43	13	-410.08	1	-4.41	13
1	1	101 Min.	264.00	-675.91	13	-128.38	19	-23.28	19	-270.43	13	-299.53	13	-4.41	13
2	2	102 Max	0.00	-683.45	31	545.76	19	169.95	7	348.85	1	486.93	13	4.41	1
2	2	102 Max	264.00	-661.77	31	545.76	19	755.91	19	348.85	1	433.98	1	4.41	1
2	2	102 Min.	0.00	-1044.11	7	10.74	7	-684.89	19	-348.82	13	-486.99	1	-4.41	13
2	2	102 Min.	264.00	-1022.42	7	10.74	7	198.30	7	-348.82	13	-433.94	13	-4.41	13
3	3	103 Max	0.00	-33.37	26	458.83	19	315.83	7	263.48	1	403.66	13	4.41	1
3	3	103 Max	264.00	-5.19	26	458.83	19	589.88	19	263.48	1	287.60	1	4.41	1
3	3	103 Min.	0.00	-691.09	1	-128.58	7	-621.42	19	-258.83	13	-408.00	1	-4.41	13
3	3	103 Min.	264.00	-669.41	1	-128.58	7	-23.61	7	-258.83	13	-279.65	13	-4.41	13
5	5	105 Max	0.00	-22.88	25	128.38	7	621.63	19	265.73	13	414.39	1	4.41	1
5	5	105 Max	50.81					-3.34	30			9.40	30		
5	5	105 Max	264.00	5.31	25	128.38	7	23.28	7	265.73	13	291.46	13	4.41	1
5	5	105 Min.	0.00	-697.59	1	-459.06	19	-315.65	7	-270.43	1	-410.08	13	-4.41	13
5	5	105 Min.	50.81					-3.34	29			-7.27	29		
5	5	105 Min.	264.00	-675.91	1	-459.06	19	-590.28	19	-270.43	1	-299.53	1	-4.41	13
6	6	106 Max	0.00	-676.56	32	-10.74	19	684.89	7	348.85	13	486.93	1	4.41	1
6	6	106 Max	264.00	-654.88	32	-10.74	19	-198.30	19	348.85	13	433.98	13	4.41	1
6	6	106 Min.	0.00	-1044.11	19	-545.76	7	-169.95	19	-348.82	1	-486.99	13	-4.41	13
6	6	106 Min.	264.00	-1022.42	19	-545.76	7	-755.91	7	-348.82	1	-433.94	1	-4.41	13
101	101	102 Max	15.00	0.00	1	0.00	19	0.00	7	205.13	13	303.50	1	-23.92	13
101	101	102 Max	93.66									8.61	25		
101	101	102 Max	292.50	0.00	1	0.00	19	0.00	19	180.82	13	226.66	13	-23.92	13
101	101	102 Min.	15.00	0.00	1	0.00	7	0.00	19	-183.34	1	-308.86	13	-60.29	25
101	101	102 Min.	126.00									4.02	39		
101	101	102 Min.	292.50	0.00	1	0.00	7	0.00	7	-207.65	1	-238.99	1	-60.29	25
101	102	103 Max	7.50	0.00	1	0.00	19	0.00	7	201.18	13	220.87	1	59.15	25
101	102	103 Max	201.98									8.47	26		
101	102	103 Max	292.50	0.00	1	0.00	19	0.00	19	176.22	13	304.64	13	59.15	25
101	102	103 Min.	7.50	0.00	1	0.00	7	0.00	19	-174.33	1	-233.16	13	23.46	1
101	102	103 Min.	160.75									4.15	39		
101	102	103 Min.	292.50	0.00	1	0.00	7	0.00	7	-199.30	1	-311.56	1	23.46	1
102	105	106 Max	15.00	0.00	1	0.00	19	0.00	7	205.13	1	303.50	13	60.29	25
102	105	106 Max	93.66									8.61	25		
102	105	106 Max	292.50	0.00	1	0.00	19	0.00	19	180.82	1	226.66	1	60.29	25
102	105	106 Min.	15.00	0.00	1	0.00	7	0.00	19	-183.34	13	-308.86	1	23.92	1
102	105	106 Min.	126.00									4.02	39		
102	105	106 Min.	292.50	0.00	1	0.00	7	0.00	7	-207.65	13	-238.99	13	23.92	1

102	106	107	Max	7.50	0.00	1	0.00	19	0.00	7	201.18	1	220.87	13	-23.46	13
102	106	107	Max	201.98									8.47	26		
102	106	107	Max	292.50	0.00	1	0.00	19	0.00	19	176.22	1	304.64	1	-23.46	13
102	106	107	Min.	7.50	0.00	1	0.00	7	0.00	19	-174.33	13	-233.16	1	-59.15	25
102	106	107	Min.	160.75									4.15	39		
102	106	107	Min.	292.50	0.00	1	0.00	7	0.00	7	-199.30	13	-311.56	13	-59.15	25
103	101	105	Max	15.00	0.00	1	0.00	13	0.00	1	556.34	7	110.34	19	3.07	13
103	101	105	Max	165.51									313.94	19		
103	101	105	Max	475.00	0.00	1	0.00	13	0.00	13	21.26	28	110.34	7	3.07	13
103	101	105	Min.	15.00	0.00	1	0.00	1	0.00	13	-10.93	27	-546.97	7	-3.07	1
103	101	105	Min.	220.82									14.52	31		
103	101	105	Min.	475.00	0.00	1	0.00	1	0.00	1	-556.34	19	-546.97	19	-3.07	1
104	102	106	Max	15.00	0.00	1	0.00	13	0.00	1	938.02	7	-149.43	19	1.29	13
104	102	106	Max	282.42									500.97	7		
104	102	106	Max	475.00	0.00	1	0.00	13	0.00	13	-587.37	32	-149.43	7	1.29	13
104	102	106	Min.	15.00	0.00	1	0.00	1	0.00	13	594.26	31	-753.27	7	-1.29	1
104	102	106	Min.	244.10									341.37	31		
104	102	106	Min.	475.00	0.00	1	0.00	1	0.00	1	-938.02	19	-753.27	19	-1.29	1
105	103	107	Max	15.00	0.00	1	0.00	13	0.00	1	556.35	19	110.25	7	3.22	13
105	103	107	Max	165.50									313.83	7		
105	103	107	Max	475.00	0.00	1	0.00	13	0.00	13	21.26	28	110.25	19	3.22	13
105	103	107	Min.	15.00	0.00	1	0.00	1	0.00	13	-10.93	27	-547.12	19	-3.22	1
105	103	107	Min.	220.84									14.33	31		
105	103	107	Min.	475.00	0.00	1	0.00	1	0.00	1	-556.35	7	-547.12	7	-3.22	1

PILASTRO 18X18

CARATTERISTICHE DEL LEGNO

Coefficiente di sicurezza per il materiale	γ_m	1,35	
Coefficiente k_{mod}	K_{mod}	0,60	
		BS11	
Flessione	$f_{m,k}$	24,00	[MPa]
Trazione parallela alla fibra	$f_{t,0,k}$	19,20	[MPa]
Trazione perpendicolare alla fibra	$f_{t,90,k}$	0,50	[MPa]
Compressione parallela alla fibra	$f_{c,0,k}$	24,00	[MPa]
Compressione perpendicolare alla fibra	$f_{c,90,k}$	2,50	[MPa]
Taglio	$f_{v,k}$	3,50	[MPa]
Modulo medio parallelo alla fibratura	$E_{0,mean}$	11,50	[MPa]
Modulo parallelo alla fibratura	$E_{0,05}$	9,60	[MPa]
Modulo medio perpendicolare alla fibratura	$E_{90,mean}$	0,30	[MPa]
Modulo di taglio medio	G_{mean}	0,65	[MPa]
Caratteristiche di sollecitazione	$\gamma_{a/g}$	1,00	

CARATTERISTICHE DELLA SEZIONE RETTANGOLARE E DELL'ASTA

Base della sezione	b	180	[mm]
Altezza della sezione	h	180	[mm]
Lunghezza libera d'inflessione attorno a y - y	L_{0y}	2800	[mm]
Lunghezza libera d'inflessione attorno a z - z	L_{0z}	2800	[mm]

Distanza tra i ritegni torsionali	L_{LT}	2800	[mm]
Area della sezione	A	32400	[mm ²]
Momento d'inerzia y - y	I_y	87480000	[mm ⁴]
Momento d'inerzia z - z	I_z	87480000	[mm ⁴]
Modulo di resistenza y - y	W_y	972000	[mm ³]
Modulo di resistenza z - z	W_z	972000	[mm ³]
Raggio d'inerzia y	i_y	51,96	[mm]
Raggio d'inerzia z	i_z	51,96	[mm]
Snellezze dell'elemento	λ_y	53,89	[-]
	λ_z	53,89	[-]
Tensioni critiche euleriane	$\sigma_{c,crit,y}$	32,63	[MPa]
	$\sigma_{c,crit,z}$	32,63	[MPa]
Snellezze relative dell'elemento	$\lambda_{rel,y}$	0,858	[-]
	$\lambda_{rel,z}$	0,858	[-]
Coefficienti di stabilità	β_c	0,20	[-]
	k_y	0,924	[-]
	k_z	0,924	[-]
	$k_{c,y}$	0,790	[-]
	$k_{c,z}$	0,790	[-]
Tensioni limite di calcolo	$k_{c,y}f_{c,0,d}$	8,42	[MPa]
	$k_{c,z}f_{c,0,d}$	8,42	[MPa]

VERIFICA A PRESSOFLESSIONE - TENSOFFLESSIONE - TAGLIO		SLU	SOLLECITAZIONI
Massima forza di compressione	$N_{c,sd}$	10,45 [kN]	10,45
Massima forza di trazione	$N_{t,sd}$	0,00 [kN]	0,00
Massimo momento flettente	M_{sd}	6,85 [kNm]	6,85
Massimo taglio	V_{sd}	3,50 [kN]	3,50
Tensione massima di compressione	$\sigma_{c,0,d} = N_{c,sd}/A$	0,32 [MPa]	
Tensione massima di trazione	$\sigma_{t,0,d} = N_{t,sd}/A$	0,00 [MPa]	
Tensione massima a flessione	$\sigma_{m,y,d} = M_{sd}/W_y$	7,05 [MPa]	
Tensione tangenziale massima	$\tau_d = 1,5 V_{sd}/(b h)$	0,16 [MPa]	
Tasso di lavoro in compressione	$\sigma_{c,0,d}/[k_{c,min}f_{c,0,d}]$	0,04 [-]	SI
Tasso di lavoro in trazione	$\sigma_{t,0,d}/f_{t,0,d}$	0,00 [-]	SI
Tasso di lavoro a flessione	$\sigma_{m,y,d}/f_{m,y,d}$	0,66 [-]	SI
Tasso di lavoro a pressoflessione	$\sigma_{c,0,d}/[k_{c,min}f_{c,0,d}] + \sigma_{m,y,d}/f_{m,y,d}$	0,70 [-]	SI
Tasso di lavoro a taglio	$\tau_d/f_{v,d}$	0,10 [-]	SI
VERIFICA DI FLESSO TORSIONE			
Momento d'inerzia torsionale	I_t	349920000 [mm ⁴]	
Tensione critica flessione torsionale	$\sigma_{m,crit}$	426,38 [MPa]	
Snellezza relativa a flessione torsione	$\lambda_{rel,m}$	0,237 [-]	

Coefficiente di svergolamento	$k_{crit,m}$	1,000 [-]	
Tasso di lavoro a flessione semplice	$\sigma_{m,y,d}/[k_{crit,m} f_{m,y,d}]$	[-]	
Tasso di lavoro a pressoflessione	$\sigma_{c,0,d}/[k_{c,min} f_{c,0,d}] + (\sigma_{m,y,d}/[k_{crit,m} f_{m,y,d}])^2$	[-]	

TRAVE 18X18

CARATTERISTICHE DEL LEGNO			
Coefficiente di sicurezza per il materiale	γ_m	1,35	
Coefficiente k_{mod}	k_{mod}	0,60	
		BS11	Calcolo
Flessione	$f_{m,k}$	24,00	10,67 [MPa]
Trazione parallela alla fibra	$f_{t,0,k}$	19,20	8,53 [MPa]
Trazione perpendicolare alla fibra	$f_{t,90,k}$	0,50	0,22 [MPa]
Compressione parallela alla fibra	$f_{c,0,k}$	24,00	10,67 [MPa]
Compressione perpendicolare alla fibra	$f_{c,90,k}$	2,50	1,11 [MPa]
Taglio	$f_{v,k}$	3,50	1,56 [MPa]
Modulo medio parallelo alla fibratura	$E_{0,mean}$	11,50	11500 [MPa]
Modulo parallelo alla fibratura	$E_{0,05}$	9,60	9600 [MPa]
Modulo medio perpendicolare alla fibratura	$E_{90,mean}$	0,30	300 [MPa]
Modulo di taglio medio	G_{mean}	0,65	650 [MPa]
Caratteristiche di sollecitazione	$\gamma_{a/g}$	1,00	
CARATTERISTICHE DELLA SEZIONE RETTANGOLARE E DELL'ASTA			
Base della sezione	b	180	[mm]
Altezza della sezione	h	180	[mm]
Lunghezza libera d'inflessione attorno a y - y	L_{0y}	4400	[mm]
Lunghezza libera d'inflessione attorno a z - z	L_{0z}	4400	[mm]
Distanza tra i ritegni torsionali	L_{LT}	4400	[mm]
Area della sezione	A	32400	[mm ²]
Momento d'inerzia y - y	I_y	87480000	[mm ⁴]
Momento d'inerzia z - z	I_z	87480000	[mm ⁴]
Modulo di resistenza y - y	W_y	972000	[mm ³]
Modulo di resistenza z - z	W_z	972000	[mm ³]
Raggio d'inerzia y	i_y	51,96	[mm]
Raggio d'inerzia z	i_z	51,96	[mm]
Snellezze dell'elemento	λ_y	84,68	[-]
	λ_z	84,68	[-]
Tensioni critiche euleriane	$\sigma_{c,crit,y}$	13,21	[MPa]
	$\sigma_{c,crit,z}$	13,21	[MPa]
Snellezze relative dell'elemento	$\lambda_{rel,y}$	1,348	[-]
	$\lambda_{rel,z}$	1,348	[-]

Coefficients di stabilità	β_c	0,20	[-]
	k_y	1,513	[-]
	k_z	1,513	[-]
	$k_{c,y}$	0,454	[-]
	$k_{c,z}$	0,454	[-]
Tensioni limite di calcolo	$k_{c,y}f_{c,0,d}$	4,85	[MPa]
	$k_{c,z}f_{c,0,d}$	4,85	[MPa]

VERIFICA A PRESSOFLESSIONE - TENSOFFLESSIONE - TAGLIO		SLU	SOLLECITAZIONI
Massima forza di compressione	$N_{c,sd}$	0,00 [kN]	0,00
Massima forza di trazione	$N_{t,sd}$	0,00 [kN]	0,00
Massimo momento flettente	M_{sd}	7,60 [kNm]	7,60
Massimo taglio	V_{sd}	9,40 [kN]	9,40
Tensione massima di compressione	$\sigma_{c,0,d} = N_{c,sd}/A$	0,00 [MPa]	
Tensione massima di trazione	$\sigma_{t,0,d} = N_{t,sd}/A$	0,00 [MPa]	
Tensione massima a flessione	$\sigma_{m,y,d} = M_{sd}/W_y$	7,82 [MPa]	
Tensione tangenziale massima	$\tau_d = 1,5 V_{sd}/(b h)$	0,44 [MPa]	
Tasso di lavoro in compressione	$\sigma_{c,0,d}/[k_{c,min}f_{c,0,d}]$	0,00 [-]	SI
Tasso di lavoro in trazione	$\sigma_{t,0,d}/f_{t,0,d}$	0,00 [-]	SI
Tasso di lavoro a flessione	$\sigma_{m,y,d}/f_{m,y,d}$	0,73 [-]	SI
Tasso di lavoro a pressoflessione	$\sigma_{c,0,d}/[k_{c,min}f_{c,0,d}] + \sigma_{m,y,d}/f_{m,y,d}$	0,73 [-]	SI
Tasso di lavoro a taglio	$\tau_d/f_{v,d}$	0,28 [-]	SI
VERIFICA DI FLESSO TORSIONE			
Momento d'inerzia torsionale	I_t	349920000 [mm ⁴]	
Tensione critica flessione torsionale	$\sigma_{m,crit}$	271,33 [MPa]	
Snellezza relativa a flessione torsione	$\lambda_{rel,m}$	0,297 [-]	
Coefficiente di svergolamento	$k_{crit,m}$	1,000 [-]	
Tasso di lavoro a flessione semplice	$\sigma_{m,y,d}/[k_{crit,m} f_{m,y,d}]$	[-]	
Tasso di lavoro a pressoflessione	$\sigma_{c,0,d}/[k_{c,min}f_{c,0,d}] + (\sigma_{m,y,d}/[k_{crit,m} f_{m,y,d}])^2$	[-]	

Arcareccio 12x12

CARATTERISTICHE DEL LEGNO

Coefficiente di sicurezza per il materiale	γ_m	1,35	
Coefficiente k_{mod}	k_{mod}	0,60	
		BS11	
Flessione	$f_{m,k}$	24,00	[MPa]
Trazione parallela alla fibra	$f_{t,0,k}$	19,20	[MPa]
Trazione perpendicolare alla fibra	$f_{t,90,k}$	0,50	[MPa]

Compressione parallela alla fibra	$f_{c,0,k}$	24,00	[MPa]
Compressione perpendicolare alla fibra	$f_{c,90,k}$	2,50	[MPa]
Taglio	$f_{v,k}$	3,50	[MPa]
Modulo medio parallelo alla fibratura	$E_{0,mean}$	11,50	[MPa]
Modulo parallelo alla fibratura	$E_{0,05}$	9,60	[MPa]
Modulo medio perpendicolare alla fibratura	$E_{90,mean}$	0,30	[MPa]
Modulo di taglio medio	G_{mean}	0,65	[MPa]
Caratteristiche di sollecitazione	$\gamma_{a/g}$	1,00	
CARATTERISTICHE DELLA SEZIONE RETTANGOLARE E DELL'ASTA			
Base della sezione	b	120	[mm]
Altezza della sezione	h	120	[mm]
Lunghezza libera d'inflessione attorno a y - y	L_{0y}	2500	[mm]
Lunghezza libera d'inflessione attorno a z - z	L_{0z}	2500	[mm]
Distanza tra i ritegni torsionali	L_{LT}	2500	[mm]
Area della sezione	A	14400	[mm ²]
Momento d'inerzia y - y	I_y	17280000	[mm ⁴]
Momento d'inerzia z - z	I_z	17280000	[mm ⁴]
Modulo di resistenza y - y	W_y	288000	[mm ³]
Modulo di resistenza z - z	W_z	288000	[mm ³]
Raggio d'inerzia y	i_y	34,64	[mm]
Raggio d'inerzia z	i_z	34,64	[mm]
Snellezze dell'elemento	λ_y	72,17	[-]
	λ_z	72,17	[-]
Tensioni critiche euleriane	$\sigma_{c,crit,y}$	18,19	[MPa]
	$\sigma_{c,crit,z}$	18,19	[MPa]
Snellezze relative dell'elemento	$\lambda_{rel,y}$	1,149	[-]
	$\lambda_{rel,z}$	1,149	[-]
Coefficienti di stabilità	β_c	0,20	[-]
	k_y	1,245	[-]
	k_z	1,245	[-]
	$k_{c,y}$	0,580	[-]
	$k_{c,z}$	0,580	[-]
	Tensioni limite di calcolo	$k_{c,y}f_{c,0,d}$	6,19
	$k_{c,z}f_{c,0,d}$	6,19	[MPa]

VERIFICA A PRESSOFLESSIONE - TENSOFFLESSIONE - TAGLIO		SLU	SOLLECITAZIONI
Massima forza di compressione	$N_{c,sd}$	0,00 [kN]	0,00
Massima forza di trazione	$N_{t,sd}$	0,00 [kN]	0,00
Massimo momento flettente	M_{sd}	1,60 [kNm]	1,60
Massimo taglio	V_{sd}	2,10 [kN]	2,10

Tensione massima di compressione	$\sigma_{c,0,d} = N_{c,Sd}/A$	0,00 [MPa]	
Tensione massima di trazione	$\sigma_{t,0,d} = N_{t,Sd}/A$	0,00 [MPa]	
Tensione massima a flessione	$\sigma_{m,y,d} = M_{Sd}/W_y$	5,56 [MPa]	
Tensione tangenziale massima	$\tau_d = 1,5 V_{Sd}/(b h)$	0,22 [MPa]	
Tasso di lavoro in compressione	$\sigma_{c,0,d}/[k_{c,min}f_{c,0,d}]$	0,00 [-]	SI
Tasso di lavoro in trazione	$\sigma_{t,0,d}/f_{t,0,d}$	0,00 [-]	SI
Tasso di lavoro a flessione	$\sigma_{m,y,d}/f_{m,y,d}$	0,52 [-]	SI
Tasso di lavoro a pressoflessione	$\sigma_{c,0,d}/[k_{c,min}f_{c,0,d}] + \sigma_{m,y,d}/f_{m,y,d}$	0,52 [-]	SI
Tasso di lavoro a taglio	$\tau_d/f_{v,d}$	0,14 [-]	SI
<u>VERIFICA DI FLESSO TORSIONE</u>			
Momento d'inerzia torsionale	I_t	6912000 0 [mm ⁴]	
Tensione critica flessione torsionale	$\sigma_{m,crit}$	318,36 [MPa]	
Snellezza relativa a flessione torsione	$\lambda_{rel,m}$	0,275 [-]	
Coefficiente di svergolamento	$k_{crit,m}$	1,000 [-]	
Tasso di lavoro a flessione semplice	$\sigma_{m,y,d}/[k_{crit,m} f_{m,y,d}]$	[-]	
Tasso di lavoro a pressoflessione	$\sigma_{c,0,d}/[k_{c,min}f_{c,0,d}] + (\sigma_{m,y,d}/[k_{crit,m} f_{m,y,d}])^2$	[-]	

5. STRUTTURA IN LEGNO COPERTA DIMENSIONI FUORI TERRA 900X500X300

Trattasi di una struttura lignea identificabile come gazebo a pianta rettangolare. Il manufatto ha dimensione fuori terra pari a 9.00mlx5.00ml altezza sotto travetto 3.00ml con leggera pendenza della copertura per consentire il regolare deflusso delle acque meteoriche.

Gli elementi portanti della struttura di legno coperta 900x500 sono 08 pilastri verticali in legno tipo lamellare incollato BS11- GLH24 sezione 18x18, travi perimetrali e di collegamento sempre sezione 18x18 e travicelli di falda sezione 12x12 interasse 77cm con interposto doppio tavolato incrociato . Tutti gli elementi lignei sono in legno lamellare incollato tipo BS11-Glh24.

La fondazione della struttura è formata da una platea sezione 20cm appoggiata su 10 cm di magrone impostato a -40cm rispetto al piano di campagna.

La platea è armata con doppia rete elettrosaldata diam 12mm maglia 20x20.

I pilastri sono vincolati alla platea mediante dei piedini in acciaio regolabili composti da una piastra inferiore tassellata alla platea, un perno di regolazione centrale ed una piastra superiore di appoggio per il pilastro.

L'utilizzo del piede regolabile consente di vincolare il pilastro direttamente alla platea pur permettendo la posa della pavimentazione sotto l'elemento ligneo verticale.

In copertura il tavolato viene posto in opera in aggetto per la realizzazione di una gronda perimetrale di 30cm andante.

La copertura è poi completata con posa di guaina impermeabilizzante, manto e lattonerie.

I collegamenti tra i vari elementi portanti della struttura sono realizzati mediante staffe a scomparsa in acciaio, mentre l'aggancio dei travetti alle travi principali avviene mediante staffe a L.

5.1 RELAZIONE DI CALCOLO

Dal punto di vista strutturale l'intervento si configura come nuova costruzione ai sensi delle NTC 2018.

Il manufatto è stato dimensionato considerando la sovrastruttura incastrata alla base e sollecitata da vento, neve e sisma nelle combinazioni di carico previste dalla normativa.

Le sollecitazioni ricavate poi dalla verifica dinamica della sovrastruttura sono state poi applicate alla platea sottostante per il dimensionamento della stessa e per la verifica della portanza del terreno.

La sovrastruttura è stata dimensionata mediante l'ausilio di un modellatore strutturale Modest e sono stati sulla stessa applicati i carichi neve e vento come da normativa vigente.

Ipotesi progettuali comuni a tutti i manufatti dimensionati sono:

- $q=1$
- Classe III: Costruzioni il cui uso preveda affollamenti significativi - SCUOLE

Simbologia

TCC	=Tipo di combinazione di carico
SLU	= Stato limite ultimo
SLU S	= Stato limite ultimo (azione sismica)
SLE R	= Stato limite d'esercizio, combinazione rara
SLE F	= Stato limite d'esercizio, combinazione frequente
SLE Q	= Stato limite d'esercizio, combinazione quasi permanente
SLD	= Stato limite di danno
SLV	= Stato limite di salvaguardia della vita
SLC	= Stato limite di prevenzione del collasso
SLO	= Stato limite di operatività
Ag	=Accelerazione orizzontale massima al sito
FO	=Valore massimo del fattore di amplificazione dello spettro in accelerazione orizzontale
TC*	=Periodo di inizio del tratto a velocità costante dello spettro in accelerazione orizzontale

TCC	Ag	FO	TC*
SLO	0.5481	2.57	0.26
SLD	0.6588	2.58	0.27
SLV	1.5237	2.40	0.31

- Tipo di opera: Opera ordinaria
- Vita nominale V_N : 50.00
- Classe d'uso: classe III
- SL Esercizio: SLO-Pvr 81.00, SLD-Pvr 63.00
- SL Ultimi: SLV-Pvr 10.00, SLC-Pvr no
- Classe di duttilità: classe B
- Quota di riferimento: 0.00 <m>
- Altezza della struttura: 2.80 <m>
- Numero piani edificio: 1
- Coefficiente θ : 0
- Edificio regolare in altezza: si
- Edificio regolare in pianta: si

Dati di calcolo

- Categoria del suolo di fondazione: C
- Tipologia edificio: legno a portali iperstatici in classe B ($q_0=1$)

Coeff. C_1	0.05
Periodo T_1	0.10823
Coeff. λ SLO	1.00
Coeff. λ SLD	1.00
Coeff. λ SLV	1.00
Rapporto di sovrarresistenza (α_u/α_1)	--
Fattore riduttivo (K_w)	1.00
Fattore di struttura (q)	1.00

- Categoria topografica: T1 - Superficie pianeggiante, pendii e rilievi isolati con inclinazione media $i \leq 15^\circ$
- Coeff. amplificazione topografica: 1.00
- Fattore di struttura per sisma verticale (qv): 1.50
- Modi da calcolare: 3
- Modi da considerare: tali da movimentare una percentuale di massa pari a 85.00%
- Smorzamento spettro: 5.00

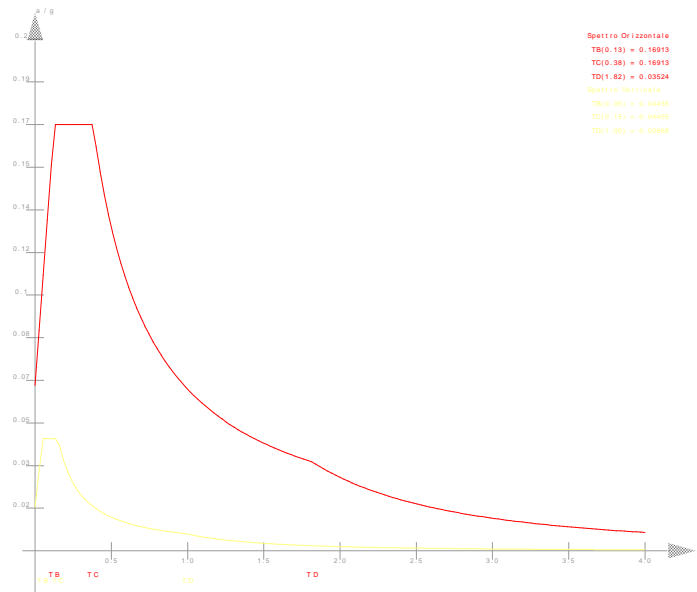


Figura numero 1: Spettro allo SLO

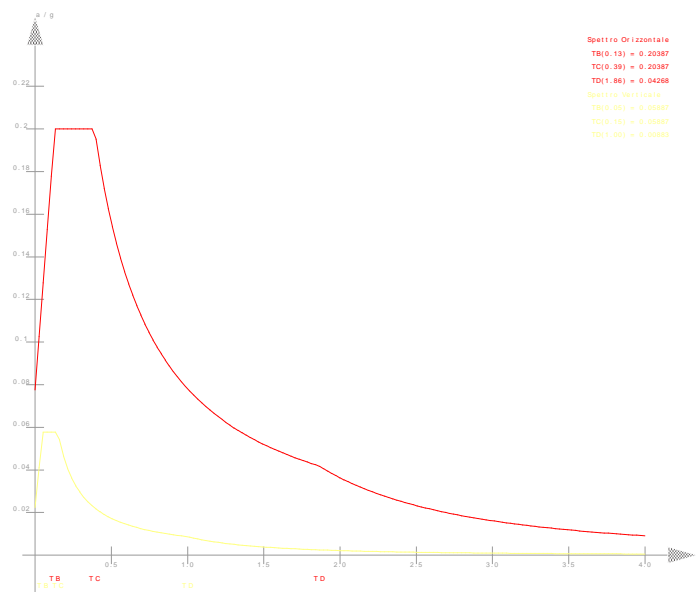


Figura numero 2: Spettro allo SLD

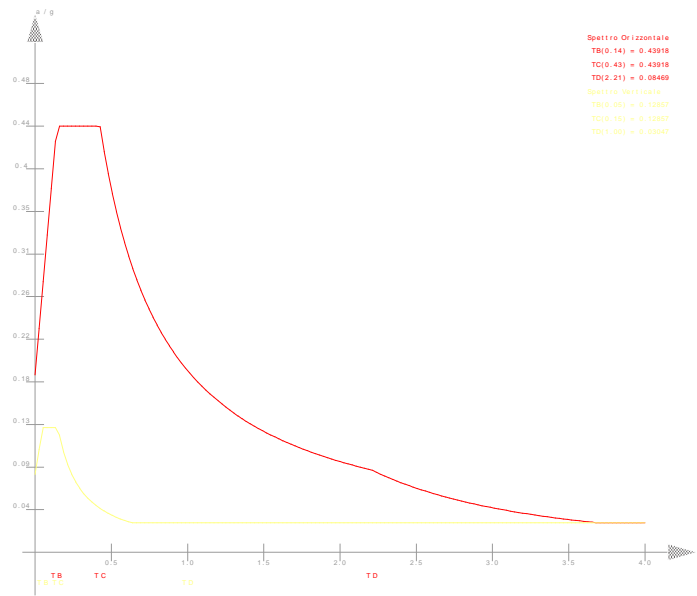
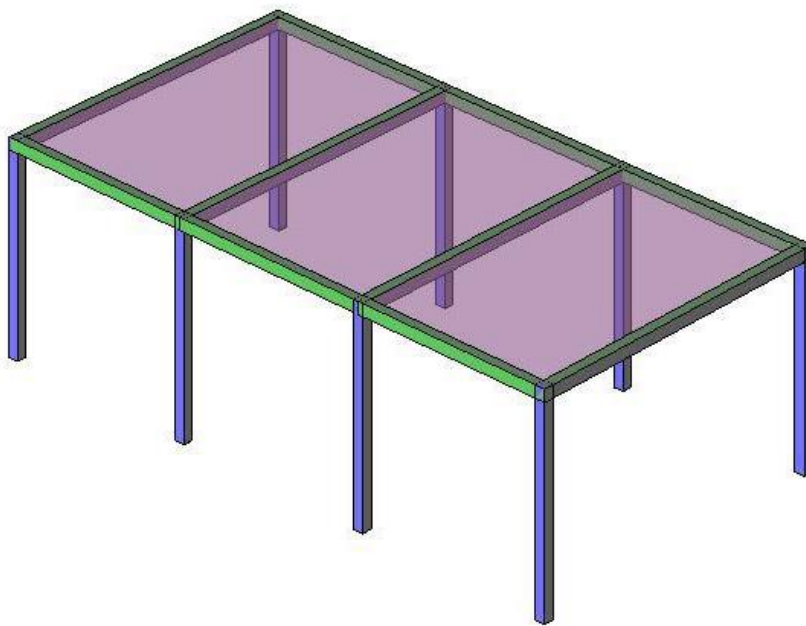


Figura numero 3: Spettro allo SLV

- Angolo di ingresso del sisma: 0.00 <grad>



5.2 RELAZIONE SUI MATERIALI

Acciaio per c.a. in barre ad aderenza migliorata:

Tensione di snervamento:

B450C

$$f_{yk} \geq 4500 \text{ Kg/cm}^2$$

Conglomerato cementizio armato per strutture di fondazione:

C28/35

Classe di consistenza S4,

Dimensione max inerte < 24 mm

Resistenza di progetto a compressione:

$$f_{cd} = 158.7 \text{ Kg/cm}^2$$

Resistenza di progetto a trazione:

$$f_{ctd} = 12.9 \text{ Kg/cm}^2$$

Classe di esposizione XC2

Da tabella 4.1.III delle NTC condizioni ambientali ordinarie:

copriferro ≥ 25 mm

Acciaio da carpenteria

Tutti gli elementi dovranno avere un modulo di elasticità non inferiore a 206000 N/mmq.

Profilati, larghi piatti, barre e lamiere

Acciaio tipo **S 235** con le seguenti caratteristiche:

Tensione caratteristica di snervamento

≥ 235 N/mmq

Tensione di rottura a trazione

≥ 390 N/mmq

Allungamento percentuale a rottura per lamiere

$\geq 24\%$

Allungamento percentuale a rottura per barre, laminati, profilati e larghi piatti

$\geq 26\%$

Bulloneria

Classe 4.6

LEGNO LAMELLARE

Valori caratteristici delle proprietà di resistenza e rigidità espressi in N/mm² e delle masse volumiche in kg/m³.

Classe di resistenza del legno lamellare		GL 24h	GL 28c	GL 32c
Resistenza alla flessione	$f_{m,g,k}$	24	28	36
Resistenza alla trazione	$f_{t,0,g,k}$	16,5	16,5	19
	$f_{t,90,g,k}$		0,5	
Resistenza alla pressione	$f_{c,0,g,k}$	24	24	26,5
	$f_{c,90,g,k}$	2,7	2,7	3,0
Resistenza al taglio	$f_{v,g,k}^{a)}$		2,5	
Modulo di elasticità	$E_{0,g,mean}^{c)}$	11.600	12.600	13.700
	$E_{90,g,mean}^{c)}$	390	390	420
Modulo di taglio	$G_{g,mean}^{b)c)}$	720	720	780
Masse volumiche	$\rho_{g,k}$	380	380	410

a) La resistenza caratteristica al taglio perpendicolare alla fibratura $f_{g,r,k}$ può essere calcolata per tutte le classi di resistenza a 1,0 N/mm².

b) Il modulo di taglio relativo alla sollecitazione del taglio perpendicolare alla fibratura dev'essere assunto con $G_{g,r,k} = 0,10 G_{g,mean}$

c) Per i valori caratteristici di riferimento di rigidità $E_{g,0,05}$; $E_{g,90,0,05}$ e $G_{g,0,05}$ valgono i valori di calcolo $E_{g,0,0,05} = 5/6 E_{g,0,mean}$; $E_{g,90,0,05} = 5/6 E_{g,90,mean}$; $G_{g,0,05} = 5/6 G_{g,mean}$

DIN 1052-1/A1: 1996-10	DIN 1052: 2008-10
BS 11	GL 24h1) GL 24c2)
BS 14	GL 28h1) GL 28c2)
BS 16	GL 32h1) GL 32c2)
BS 18	GL 36h1) GL 36c2)
1) h = struttura omogenea 2) c = struttura combinata	

5.3 RELAZIONE DI FONDAZIONE

Di seguito si procede al calcolo della tensione trasmessa dalla struttura astiforme a alla platea di fondazione.

Dall'analisi delle reazioni vincolari alla base di ciascun elemento portante verticale si procede al dimensionamento della platea di fondazione ed al calcolo della tensione massima trasmessa da questa al terreno sottostante.

Si è proceduto ad una doppia verifica: la verifica STRU della platea e la verifica GEO con la quale si è ricavato il valore del carico massimo sul terreno da confrontare con il carico limite indicato nella relazione geologico-tecnica allegata alla presente pratica.

Reazioni vincolari

Reazioni vincolari

Simbologia

Nodo	=	Numero del nodo
Rx	=	Reazione vincolare (forza) in dir. X
CC	=	Numero della combinazione delle condizioni di carico elementari
Ry	=	Reazione vincolare (forza) in dir. Y
Rz	=	Reazione vincolare (forza) in dir. Z
Mx	=	Reazione vincolare (momento) intorno all'asse X
My	=	Reazione vincolare (momento) intorno all'asse Y
Mz	=	Reazione vincolare (momento) intorno all'asse Z

Nodo	Rx <kg>	CC	Ry <kg>	CC	Rz <kg>	CC	Mx <kgm>	CC	My <kgm>	CC	Mz <kg m>	CC
1 Max	294.56	13	510.05	7	735.11	1	377.39	19	449.19	13	3.57	13
1 Min.	-289.75	1	-162.31	19	31.83	25	-699.16	7	-444.74	1	-3.57	1
2 Max	360.63	13	616.56	7	1105.63	7	226.10	19	510.33	13	3.57	13
2 Min.	-360.76	1	-13.66	19	695.26	31	-783.98	7	-510.45	1	-3.57	1
3 Max	360.76	13	616.56	19	1105.63	19	226.10	7	510.45	13	3.57	13
3 Min.	-360.63	1	-13.66	7	695.26	31	-783.98	19	-510.33	1	-3.57	1
4 Max	289.75	13	510.05	19	735.11	13	377.39	7	444.74	13	3.57	13
4 Min.	-294.56	1	-162.31	7	31.83	26	-699.16	19	-449.19	1	-3.57	1
5 Max	294.56	1	162.31	7	735.11	13	699.16	19	449.19	1	3.57	13
5 Min.	-289.75	13	-510.05	19	21.75	25	-377.39	7	-444.74	13	-3.57	1
6 Max	360.63	1	13.66	7	1105.63	19	783.98	19	510.33	1	3.57	13
6 Min.	-360.76	13	-616.56	19	688.54	32	-226.10	7	-510.45	13	-3.57	1
7 Max	360.76	1	13.66	19	1105.63	7	783.98	7	510.45	1	3.57	13
7 Min.	-360.63	13	-616.56	7	688.54	32	-226.10	19	-510.33	13	-3.57	1
8 Max	289.75	1	162.31	19	735.11	1	699.16	7	444.74	1	3.57	13
8 Min.	-294.56	13	-510.05	7	21.75	26	-377.39	19	-449.19	13	-3.57	1

VERIFICA GEO DELLA PLATEA

verifica a lungo termine in condizioni drenate

APPROCCIO 2 (A1 + M1 + R3)

azioni incrementate, parametrici geotecnici invariati, resistenze ridotte

GammaG1 (*)	1,3	gammaM
GammaG2 (*)	1,5	gammaR
GammaQ (*)	1,5	Kh sismico

VERIFICA ALLO SLU DI TIPO GEOTECNICO

CALCOLO DEL CARICO LIMITE INSIEME FONDAZIONE-TERRENO

Dati terreno

angolo d'attrito fi	gradi	24
peso specifico 1	t/mc	1,70
peso specifico 2	t/mc	1,80
coesione c'	t/mq	0,00
inclinazione del pendio	gradi	0 ok
profondità della falda dw	m	100
tipo di terreno	C/A	PD

Geometria fondazione

profondità di posa D	m	0,45
base B	m	1,00
lunghezza L (L>B)	m	1,00
eccentricità Eb	m	0,00
eccentricità El	m	0,00
inclinazione del carico effettiva	gradi	0,00

Dati di calcolo

inclinazione del carico sismica	gradi	3,60
inclinazione del carico totale	gradi	3,60487
B'' (= B o B')	m	1
L'' (= L o L')	m	1
c'' (= c o c*)	t/mq	0,00
fi'' (= fi o fi*)	gradi	24
Nq		9,60
Ng		9,44
Nc		19,32
fq		1,445
fg		0,600
fc		1,497
iq		0,960
ig		0,850
ic		0,960
eq		1,000
eg		1,000
ec		1,000

Risultati

qlim	t/mq	15
gammaR		1,00

qRd	t/mq	15
------------	-------------	-----------

kwinkler	DaN/cm3	0,58
----------	---------	------

PLATEA					
GEOMETRIA					
Dimensioni	(cm)	bx	by	Bx	By
		18	18	45	45
H plinto	(cm)	20			
copriferro	(cm)	3			
d	(cm)	17			
SOLLECITAZIONI - MATERIALI					
Azioni agenti SLU (KN-KNm)		Nsd	Msd x	Msd y	
		11,1	7,85	5,1	
PRESSIONI					
Pressioni sul terreno	MPa	σ_1	σ_2	σ_3	σ_4
		1,000	0,239	-0,172	-0,934

La verifica geo risulta soddisfatta in quanto $1,00 < 1.50$.

VERIFICA STRU DELLA PLATEA

Si considera una sezione della platea 40x40x20 in corrispondenza della quale vengono trasmesse le reazioni vincolari dei pilastri e si procede alla verifica geo della sezione.

Verifica C.A. S.L.U. - File

File Materiali Opzioni Visualizza Progetto Sez. Rett. Sismica Normativa: NTC 2018 ?

TITOLO : _____

N° strati barre Zoom

N°	b [cm]	h [cm]
1	40	20

N°	As [cm²]	d [cm]
1	3,93	3
2	3,93	17

Sollecitazioni
S.L.U. Metodo n

N_{Ed} kN
M_{xEd} kNm
M_{yEd} kNm

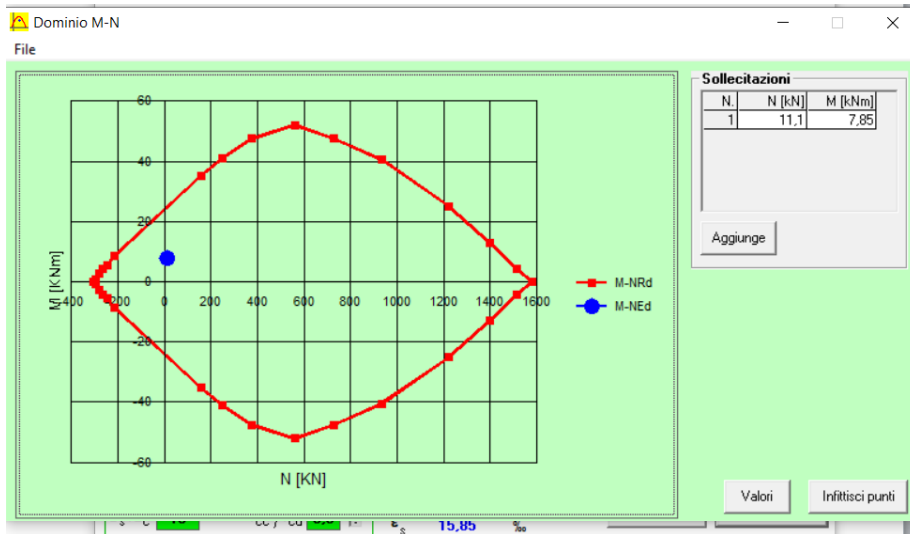
P.to applicazione N
Centro Baricentro cls
Coord.[cm] xN yN

Materiali
B450C C28/35
E_{su} %o E_{c2} %o
f_{yd} N/mm² E_{cu} %o
E_s N/mm² f_{cd} %o
E_s/E_c f_{cc}/f_{cd} ?
E_{syd} %o σ_{c,adm} %o
σ_{s,adm} N/mm² τ_{co} %o
τ_{c1} %o

M_{xRd} kN m
σ_c N/mm²
σ_s N/mm²
ε_c %o
ε_s %o
d cm
x x/d
δ

Metodo di calcolo
S.L.U.+ S.L.U.- Metodo n
Tipo flessione
Retta Deviata
N° rett.

Calcola MRd Dominio M-N
L₀ cm Col. modello
M-curvatura
 Precompresso



5.4 RELAZIONE DI CALCOLO

ANALISI DEI CARICHI

L' **ANALISI DEI CARICHI** per la determinazione delle forze statiche agenti sulla struttura in esame è stata effettuata in modo tale da pervenire alle condizioni più gravose nei confronti delle verifiche da effettuare.

I carichi d'esercizio assunti a base dei calcoli, oltre il peso proprio delle strutture portanti ed ai sovraccarichi permanenti conformemente alla destinazione specifica dei locali ed a quelli stabiliti dalle NTC 2018 sono stati i seguenti:

CARICHI VERTICALI DISTRIBUITI – STATO di PROGETTO

G+QPS+QPN		25	Kg/mq
VENTO	SOPR	27	Kg/mq
VENTO	SOTT	54	Kg/mq
CARICO NEVE	Qacc	80	Kg/mq

La determinazione delle caratteristiche della sollecitazione provocate nelle strutture è stata effettuata con i **METODI DELLA SCIENZA DELLE COSTRUZIONI**, basati sull'ipotesi dell'elasticità lineare dei materiali e cumulando le condizioni di carico nel modo più sfavorevole.

Tutte le verifiche di resistenza del legno sono state eseguite con l'applicazione del **METODO DEGLI STATI LIMITE** , tenendo conto delle condizioni più gravose possibili di carico.

Le caratteristiche delle azioni sollecitanti ricavate in base alle combinazioni, secondo quanto stabilito al **p.to 2.5.3 del D.M. 17.01.2018** risultano inferiori alle azioni resistenti per tutti gli stati limite previsti dal suddetto decreto

SLU - Combinazine fondamentale

$$\gamma_{G1} G_1 + \gamma_{G2} G_2 + \gamma_P P + \gamma_{Q1} Q_{k1} + \gamma_{Q2} \Psi_{02} Q_{k2} + \gamma_{Q3} \Psi_{03} Q_{k3} + \dots$$

SLE - Combinazine caratteristica (rara) – per tensioni ammissibili

$$G_1 + G_2 + P + Q_{k1} + \Psi_{02} Q_{k2} + \Psi_{03} Q_{k3} + \dots$$

SLE - Combinazine frequente - reversibili

$$G_1 + G_2 + P + \Psi_{11} Q_{k1} + \Psi_{22} Q_{k2} + \Psi_{23} Q_{k3} + \dots$$

SLE - Combinazine quasi permanente – a lungo termine

$$G_1 + G_2 + P + \Psi_{21} Q_{k1} + \Psi_{22} Q_{k2} + \Psi_{23} Q_{k3} + \dots$$

SLU – SLE - Combinazine sismica

$$G_1 + G_2 + P + E + \Psi_{21} Q_{k1} + \Psi_{22} Q_{k2} + \Psi_{23} Q_{k3} + \dots$$

SLU - Combinazine eccezionale

$$G_1 + G_2 + P + A_d + \Psi_{21} Q_{k1} + \Psi_{22} Q_{k2} + \Psi_{23} Q_{k3} + \dots$$

In carichi sopra definiti, una volta definiti e assegnati, vengono combinati (par. 2.5.3) a seconda della categoria dell'azione variabile, e fattorizzati (par. 2.6) a seconda che l'azione che esercita il carico sulla struttura sia a vantaggio o a svantaggio di sicurezza, come riportato nelle seguenti tabelle.

Categoria/Azione variabile	Ψ_{0j}	Ψ_{1j}	Ψ_{2j}
Categoria A – Ambienti ad uso residenziale	0.7	0.5	0.3
Categoria B – Uffici	0.7	0.5	0.3
Categoria C – Ambienti suscettibili di affollamento	0.7	0.7	0.6
Categoria D – Ambienti d uso commerciale	0.7	0.7	0.6
Categoria E – Biblioteche, archivi, magazzini e ambienti industriali	1.0	0.9	0.8
Categoria F – Rimesse e parcheggi (per autoveicoli di peso ≤ 30 kN)	0.7	0.7	0.6
Categoria G – Rimesse e parcheggi (per autoveicoli di peso > 30 kN)	0.7	0.5	0.3
Categoria H – coperture accessibili per sola manutenzione	0.0	0.0	0.0
Categoria I – coperture praticabili	<i>Da valutarsi caso per caso</i>		
Categoria K – coperture per usi speciali (impianti, eliporti...)	<i>caso</i>		
Vento	0.6	0.2	0.0
Neve (a quota ≤ 1000 m s.l.m.)	0.5	0.2	0.0
Neve (a quota > 1000 m s.l.m.)	0.7	0.5	0.2
Variazioni termiche	0.6	0.5	0.0

Tab. 2.5.1 – Valori dei coefficienti di combinazione

		Coefficiente γ_F	EQU	A1 STR	A2 GEO
Carichi permanenti	favorevoli	γ_{G1}	0.9	1.0	1.0
	sfavorevoli		1.1	1.3	1.0
Carichi permanenti non strutturali ⁽¹⁾	favorevoli	γ_{G2}	0.8	0.8	0.8
	sfavorevoli		1.5	1.5	1.3
Carichi variabili	favorevoli	γ_{Qj}	0.0	0.0	0.0
	sfavorevoli		1.5	1.5	1.3

⁽¹⁾ per i carichi permanenti non strutturali compiutamente definiti si possono utilizzare gli stessi coefficienti dei carichi permanenti

Tab. 2.6.1 – Coefficienti parziali per le azioni o per l'effetto delle azioni nelle verifiche SLU

Nel modello strutturale , non avendo considerato la copertura come elemento rigido per la

ripartizione dei carichi, le sollecitazioni sono state applicate direttamente sui vari elementi strutturali in funzione della propria area di influenza.

5.5 FASCICOLO DI CALCOLO

Ciascun elemento strutturale ligneo è stato dimensionato considerando le sollecitazioni ricavate dalla risoluzione dello schema statico.

Si riporta di seguito la tabella delle sollecitazioni agenti e la verifica del elementi principali più sollecitati secondo le NTC 2018.

Sollecitazioni aste

Sollecitazioni aste

Simbologia

Asta	=	Numero dell'asta
N1	=	Nodo1
N2	=	Nodo2
X	=	Coordinata progressiva rispetto al nodo iniziale
N	=	Sforzo normale
CC	=	Numero della combinazione delle condizioni di carico elementari
Ty	=	Taglio in dir. Y
Mz	=	Momento flettente intorno all'asse Z
Tz	=	Taglio in dir. Z
My	=	Momento flettente intorno all'asse Y
Mx	=	Momento torcente intorno all'asse X

Asta	N1	N2	X <cm>	N <kg>	CC	Ty <kg>	CC	Mz <kgm>	CC	Tz <kg>	CC	My <kgm>	CC	Mx <kgm>	CC
1	1	101 Max	0.00	-31.83	25	510.05	7	377.39	19	289.75	1	449.19	13	3.57	1
1	1	101 Max	264.00	-3.64	25	510.05	7	647.38	7	289.75	1	320.20	1	3.57	1
1	1	101 Min.	0.00	-735.11	1	-162.31	19	-699.16	7	-294.56	13	-444.74	1	-3.57	13
1	1	101 Min.	264.00	-713.43	1	-162.31	19	-51.12	19	-294.56	13	-328.44	13	-3.57	13
2	2	102 Max	0.00	-695.26	31	616.56	7	226.10	19	360.76	1	510.33	13	3.57	1
2	2	102 Max	264.00	-673.58	31	616.56	7	843.73	7	360.76	1	441.96	1	3.57	1
2	2	102 Min.	0.00	-1105.63	7	-13.66	19	-783.98	7	-360.63	13	-510.45	1	-3.57	13
2	2	102 Min.	264.00	-1083.95	7	-13.66	19	190.04	19	-360.63	13	-441.73	13	-3.57	13
3	3	103 Max	0.00	-695.26	31	616.56	19	226.10	7	360.63	1	510.45	13	3.57	1
3	3	103 Max	264.00	-673.58	31	616.56	19	843.73	19	360.63	1	441.73	1	3.57	1
3	3	103 Min.	0.00	-1105.63	19	-13.66	7	-783.98	19	-360.76	13	-510.33	1	-3.57	13
3	3	103 Min.	264.00	-1083.95	19	-13.66	7	190.04	7	-360.76	13	-441.96	13	-3.57	13
4	4	104 Max	0.00	-31.83	26	510.05	19	377.39	7	294.56	1	444.74	13	3.57	1
4	4	104 Max	264.00	-3.64	26	510.05	19	647.38	19	294.56	1	328.44	1	3.57	1
4	4	104 Min.	0.00	-735.11	13	-162.31	7	-699.16	19	-289.75	13	-449.19	1	-3.57	13
4	4	104 Min.	264.00	-713.43	13	-162.31	7	-51.12	7	-289.75	13	-320.20	13	-3.57	13

5	5	105 Max	0.00	-21.75	25	162.31	7	699.16	19	289.75	13	449.19	1	3.57	1
5	5	105 Max	26.58					-2.07	30			13.15	30		
5	5	105 Max	264.00	6.44	25	162.31	7	51.12	7	289.75	13	320.20	13	3.57	1
5	5	105 Min.	0.00	-735.11	13	-510.05	19	-377.39	7	-294.56	1	-444.74	13	-3.57	13
5	5	105 Min.	26.58					-2.07	29			-9.69	29		
5	5	105 Min.	264.00	-713.43	13	-510.05	19	-647.38	19	-294.56	1	-328.44	1	-3.57	13
6	6	106 Max	0.00	-688.54	32	13.66	7	783.98	19	360.76	13	510.33	1	3.57	1
6	6	106 Max	264.00	-666.86	32	13.66	7	-190.04	7	360.76	13	441.96	13	3.57	1
6	6	106 Min.	0.00	-1105.63	19	-616.56	19	-226.10	7	-360.63	1	-510.45	13	-3.57	13
6	6	106 Min.	264.00	-1083.95	19	-616.56	19	-843.73	19	-360.63	1	-441.73	1	-3.57	13
7	7	107 Max	0.00	-688.54	32	13.66	19	783.98	7	360.63	13	510.45	1	3.57	1
7	7	107 Max	264.00	-666.86	32	13.66	19	-190.04	19	360.63	13	441.73	13	3.57	1
7	7	107 Min.	0.00	-1105.63	7	-616.56	7	-226.10	19	-360.76	1	-510.33	13	-3.57	13
7	7	107 Min.	264.00	-1083.95	7	-616.56	7	-843.73	7	-360.76	1	-441.96	1	-3.57	13
8	8	108 Max	0.00	-21.75	26	162.31	19	699.16	7	294.56	13	444.74	1	3.57	1
8	8	108 Max	26.58					-2.07	30			9.69	30		
8	8	108 Max	264.00	6.44	26	162.31	19	51.12	19	294.56	13	328.44	13	3.57	1
8	8	108 Min.	0.00	-735.11	1	-510.05	7	-377.39	19	-289.75	1	-449.19	13	-3.57	13
8	8	108 Min.	26.58					-2.07	29			-13.15	29		
8	8	108 Min.	264.00	-713.43	1	-510.05	7	-647.38	7	-289.75	1	-320.20	1	-3.57	13
101	101	102 Max	15.00	0.00	1	0.00	19	0.00	7	230.77	13	332.91	1	-28.17	13
101	101	102 Max	84.66									8.98	25		
101	101	102 Max	292.50	0.00	1	0.00	19	0.00	19	206.46	13	268.24	13	-28.17	13
101	101	102 Min.	15.00	0.00	1	0.00	7	0.00	19	-208.79	1	-338.42	13	-68.13	25
101	101	102 Min.	143.08									4.13	31		
101	101	102 Min.	292.50	0.00	1	0.00	7	0.00	7	-233.10	1	-280.21	1	-68.13	25
101	102	103 Max	7.50	0.00	1	0.00	19	0.00	27	150.87	13	191.27	1	3.14	13
101	102	103 Max	187.60									4.93	26		
101	102	103 Max	292.50	0.00	1	0.00	19	0.00	19	125.90	13	191.27	13	3.14	13
101	102	103 Min.	7.50	0.00	1	0.00	7	0.00	19	-125.90	1	-203.12	13	-3.14	1
101	102	103 Min.	149.75									2.97	39		
101	102	103 Min.	292.50	0.00	1	0.00	7	0.00	7	-150.87	1	-203.12	1	-3.14	1
101	103	104 Max	7.50	0.00	1	0.00	19	0.00	7	233.10	13	268.24	1	68.13	25
101	103	104 Max	215.05									8.98	26		
101	103	104 Max	285.00	0.00	1	0.00	19	0.00	19	208.79	13	332.91	13	68.13	25
101	103	104 Min.	7.50	0.00	1	0.00	7	0.00	19	-206.46	1	-280.21	13	28.17	1
101	103	104 Min.	156.35									4.13	31		
101	103	104 Min.	285.00	0.00	1	0.00	7	0.00	7	-230.77	1	-338.42	1	28.17	1
102	105	106 Max	15.00	0.00	1	0.00	19	0.00	7	230.77	1	332.91	13	68.13	25
102	105	106 Max	84.66									8.98	25		
102	105	106 Max	292.50	0.00	1	0.00	19	0.00	19	206.46	1	268.24	1	68.13	25
102	105	106 Min.	15.00	0.00	1	0.00	7	0.00	19	-208.79	13	-338.42	1	28.17	1
102	105	106 Min.	143.08									4.13	31		
102	105	106 Min.	292.50	0.00	1	0.00	7	0.00	7	-233.10	13	-280.21	13	28.17	1
102	106	107 Max	7.50	0.00	1	0.00	19	0.00	27	150.87	1	191.27	13	3.14	13
102	106	107 Max	187.60									4.93	26		
102	106	107 Max	292.50	0.00	1	0.00	19	0.00	19	125.90	1	191.27	1	3.14	13
102	106	107 Min.	7.50	0.00	1	0.00	7	0.00	19	-125.90	13	-203.12	1	-3.14	1
102	106	107 Min.	149.75									2.97	39		

102 106	107 Min.	292.50	0.00	1	0.00	7	0.00	7	-150.87	13	-203.12	13	-3.14	1
102 107	108 Max	7.50	0.00	1	0.00	19	0.00	7	233.10	1	268.24	13	-28.17	13
102 107	108 Max	215.05									8.98	26		
102 107	108 Max	285.00	0.00	1	0.00	19	0.00	19	208.79	1	332.91	1	-28.17	13
102 107	108 Min.	7.50	0.00	1	0.00	7	0.00	19	-206.46	13	-280.21	1	-68.13	25
102 107	108 Min.	156.35									4.13	31		
102 107	108 Min.	285.00	0.00	1	0.00	7	0.00	7	-230.77	13	-338.42	13	-68.13	25
103 101	105 Max	15.00	0.00	1	0.00	13	0.00	1	582.44	7	146.64	19	2.43	13
103 101	105 Max	160.99									338.20	19		
103 101	105 Max	485.00	0.00	1	0.00	13	0.00	13	21.89	28	146.64	7	2.43	13
103 101	105 Min.	15.00	0.00	1	0.00	1	0.00	13	-11.81	27	-605.38	7	-2.43	1
103 101	105 Min.	210.04									15.97	31		
103 101	105 Min.	485.00	0.00	1	0.00	1	0.00	1	-582.44	19	-605.38	19	-2.43	1
104 102	106 Max	15.00	0.00	1	0.00	13	0.00	1	975.15	7	-114.20	19	1.27	13
104 102	106 Max	293.01									532.26	7		
104 102	106 Max	485.00	0.00	1	0.00	13	0.00	13	-599.89	32	-114.20	7	1.27	13
104 102	106 Min.	15.00	0.00	1	0.00	1	0.00	13	606.61	31	-823.24	7	-1.27	1
104 102	106 Min.	248.86									362.87	31		
104 102	106 Min.	485.00	0.00	1	0.00	1	0.00	1	-975.15	19	-823.24	19	-1.27	1
105 103	107 Max	15.00	0.00	1	0.00	13	0.00	1	975.15	19	-114.20	7	1.27	13
105 103	107 Max	293.01									532.26	19		
105 103	107 Max	485.00	0.00	1	0.00	13	0.00	13	-599.89	32	-114.20	19	1.27	13
105 103	107 Min.	15.00	0.00	1	0.00	1	0.00	13	606.61	31	-823.24	19	-1.27	1
105 103	107 Min.	248.86									362.87	31		
105 103	107 Min.	485.00	0.00	1	0.00	1	0.00	1	-975.15	7	-823.24	7	-1.27	1
106 104	108 Max	15.00	0.00	1	0.00	13	0.00	1	582.44	19	146.64	7	2.43	13
106 104	108 Max	160.99									338.20	7		
106 104	108 Max	485.00	0.00	1	0.00	13	0.00	13	21.89	28	146.64	19	2.43	13
106 104	108 Min.	15.00	0.00	1	0.00	1	0.00	13	-11.81	27	-605.38	19	-2.43	1
106 104	108 Min.	210.04									15.97	31		
106 104	108 Min.	485.00	0.00	1	0.00	1	0.00	1	-582.44	7	-605.38	7	-2.43	1

Verifica pilastro 18x18

CARATTERISTICHE DEL LEGNO

Coefficiente di sicurezza per il materiale	γ_m	1,35	
Coefficiente k_{mod}	k_{mod}	0,60	
		BS11	
Flessione	$f_{m,k}$	24,00	[MPa]
Trazione parallela alla fibra	$f_{t,0,k}$	19,20	[MPa]
Trazione perpendicolare alla fibra	$f_{t,90,k}$	0,50	[MPa]
Compressione parallela alla fibra	$f_{c,0,k}$	24,00	[MPa]
Compressione perpendicolare alla fibra	$f_{c,90,k}$	2,50	[MPa]
Taglio	$f_{v,k}$	3,50	[MPa]
Modulo medio parallelo alla fibratura	$E_{0,mean}$	11,50	[MPa]
Modulo parallelo alla fibratura	$E_{0,05}$	9,60	[MPa]
Modulo medio perpendicolare alla fibratura	$E_{90,mean}$	0,30	[MPa]

Modulo di taglio medio	G_{mean}	0,65	[MPa]
Caratteristiche di sollecitazione	$\gamma_{a/g}$	1,00	
<u>CARATTERISTICHE DELLA SEZIONE RETTANGOLARE E DELL'ASTA</u>			
Base della sezione	b	180	[mm]
Altezza della sezione	h	180	[mm]
Lunghezza libera d'inflessione attorno a y - y	L_{0y}	2800	[mm]
Lunghezza libera d'inflessione attorno a z - z	L_{0z}	2800	[mm]
Distanza tra i ritegni torsionali	L_{LT}	2800	[mm]
Area della sezione	A	32400	[mm ²]
Momento d'inerzia y - y	I_y	87480000	[mm ⁴]
Momento d'inerzia z - z	I_z	87480000	[mm ⁴]
Modulo di resistenza y - y	W_y	972000	[mm ³]
Modulo di resistenza z - z	W_z	972000	[mm ³]
Raggio d'inerzia y	i_y	51,96	[mm]
Raggio d'inerzia z	i_z	51,96	[mm]
Snellezze dell'elemento	λ_y	53,89	[-]
	λ_z	53,89	[-]
Tensioni critiche euleriane	$\sigma_{c,crit,y}$	32,63	[MPa]
	$\sigma_{c,crit,z}$	32,63	[MPa]
Snellezze relative dell'elemento	$\lambda_{rel,y}$	0,858	[-]
	$\lambda_{rel,z}$	0,858	[-]
Coefficienti di stabilità	β_c	0,20	[-]
	k_y	0,924	[-]
	k_z	0,924	[-]
	$k_{c,y}$	0,790	[-]
	$k_{c,z}$	0,790	[-]
Tensioni limite di calcolo	$k_{c,y}f_{c,0,d}$	8,42	[MPa]
	$k_{c,z}f_{c,0,d}$	8,42	[MPa]

<u>VERIFICA A PRESSOFLESSIONE - TENSOFFLESSIONE - TAGLIO</u>		SLU	SOLLECITAZIONI
Massima forza di compressione	$N_{c,sd}$	11,06 [kN]	11,06
Massima forza di trazione	$N_{t,sd}$	0,00 [kN]	0,00
Massimo momento flettente	M_{sd}	7,84 [kNm]	7,84
Massimo taglio	V_{sd}	3,61 [kN]	3,61
Tensione massima di compressione	$\sigma_{c,0,d} = N_{c,sd}/A$	0,34 [MPa]	
Tensione massima di trazione	$\sigma_{t,0,d} = N_{t,sd}/A$	0,00 [MPa]	
Tensione massima a flessione	$\sigma_{m,y,d} = M_{sd}/W_y$	8,07 [MPa]	
Tensione tangenziale massima	$\tau_d = 1,5 V_{sd}/(b h)$	0,17 [MPa]	
Tasso di lavoro in compressione	$\sigma_{c,0,d}/[k_{c,min}f_{c,0,d}]$	0,04 [-]	SI

Tasso di lavoro in trazione	$\sigma_{t,0,d}/f_{t,0,d}$	0,00 [-]	SI
Tasso di lavoro a flessione	$\sigma_{m,y,d}/f_{m,y,d}$	0,76 [-]	SI
Tasso di lavoro a pressoflessione	$\sigma_{c,0,d}/[k_{c,min}f_{c,0,d}]+\sigma_{m,y,d}/f_{m,y,d}$	0,80 [-]	SI
Tasso di lavoro a taglio	$\tau_d/f_{v,d}$	0,11 [-]	SI

Verifiche trave 18x18

CARATTERISTICHE DEL LEGNO			
Coefficiente di sicurezza per il materiale	γ_m	1,35	
Coefficiente k_{mod}	k_{mod}	0,60	
		BS11	
Flessione	$f_{m,k}$	24,00	
Trazione parallela alla fibra	$f_{t,0,k}$	19,20	
Trazione perpendicolare alla fibra	$f_{t,90,k}$	0,50	
Compressione parallela alla fibra	$f_{c,0,k}$	24,00	
Compressione perpendicolare alla fibra	$f_{c,90,k}$	2,50	
Taglio	$f_{v,k}$	3,50	
Modulo medio parallelo alla fibratura	$E_{0,mean}$	11,50	
Modulo parallelo alla fibratura	$E_{0,05}$	9,60	
Modulo medio perpendicolare alla fibratura	$E_{90,mean}$	0,30	
Modulo di taglio medio	G_{mean}	0,65	
Caratteristiche di solleciatazione	γ_a/g	1,00	
CARATTERISTICHE DELLA SEZIONE RETTANGOLARE E DELL'ASTA			
Base della sezione	b	180	[mm]
Altezza della sezione	h	180	[mm]
Lunghezza libera d'inflessione attorno a y - y	L_{0y}	4850	[mm]
Lunghezza libera d'inflessione attorno a z - z	L_{0z}	4850	[mm]
Distanza tra i ritegni torsionali	L_{LT}	4850	[mm]
Area della sezione	A	32400	[mm ²]
Momento d'inerzia y - y	I_y	87480000	[mm ⁴]
Momento d'inerzia z - z	I_z	87480000	[mm ⁴]
Modulo di resistenza y - y	W_y	972000	[mm ³]
Modulo di resistenza z - z	W_z	972000	[mm ³]
Raggio d'inerzia y	i_y	51,96	[mm]
Raggio d'inerzia z	i_z	51,96	[mm]
Snellezze dell'elemento	λ_y	93,34	[-]
	λ_z	93,34	[-]
Tensioni critiche euleriane	$\sigma_{c,crit,y}$	10,88	[MPa]

Snellezze relative dell'elemento	$\sigma_{c,crit,z}$	10,88	[MPa]
	$\lambda_{rel,y}$	1,486	[-]
	$\lambda_{rel,z}$	1,486	[-]
Coefficienti di stabilità	β_c	0,20	[-]
	k_y	1,722	[-]
	k_z	1,722	[-]
	$k_{c,y}$	0,386	[-]
	$k_{c,z}$	0,386	[-]

Tensioni limite di calcolo	$k_{c,y}f_{c,0,d}$	4,11	[MPa]
	$k_{c,z}f_{c,0,d}$	4,11	[MPa]

VERIFICA A PRESSOFLESSIONE - TENSOFFLESSIONE - TAGLIO		SLU	SOLLECITAZIONI
Massima forza di compressione	$N_{c,sd}$	0,00 [kN]	0,00
Massima forza di trazione	$N_{t,sd}$	0,00 [kN]	0,00
Massimo momento flettente	M_{sd}	8,24 [kNm]	8,24
Massimo taglio	V_{sd}	9,75 [kN]	9,75
Tensione massima di compressione	$\sigma_{c,0,d} = N_{c,sd}/A$	0,00 [MPa]	
Tensione massima di trazione	$\sigma_{t,0,d} = N_{t,sd}/A$	0,00 [MPa]	
Tensione massima a flessione	$\sigma_{m,y,d} = M_{sd}/W_y$	8,48 [MPa]	
Tensione tangenziale massima	$\tau_d = 1,5 V_{sd}/(b h)$	0,45 [MPa]	
Tasso di lavoro in compressione	$\sigma_{c,0,d}/[k_{c,min}f_{c,0,d}]$	0,00 [-]	SI
Tasso di lavoro in trazione	$\sigma_{t,0,d}/f_{t,0,d}$	0,00 [-]	SI
Tasso di lavoro a flessione	$\sigma_{m,y,d}/f_{m,y,d}$	0,79 [-]	SI
Tasso di lavoro a pressoflessione	$\sigma_{c,0,d}/[k_{c,min}f_{c,0,d}] + \sigma_{m,y,d}/f_{m,y,d}$	0,79 [-]	SI
Tasso di lavoro a taglio	$\tau_d/f_{v,d}$	0,29 [-]	SI

VERIFICA DI FLESSO TORSIONE			
Momento d'inerzia torsionale	I_t	349920000	[mm ⁴]
Tensione critica flessione torsionale	$\sigma_{m,crit}$	246,16	[MPa]
Snellezza relativa a flessione torsione	$\lambda_{rel,m}$	0,312	[-]
Coefficiente di svergolamento	$k_{crit,m}$	1,000	[-]
Tasso di lavoro a flessione semplice	$\sigma_{m,y,d}/[k_{crit,m} f_{m,y,d}]$		[-]
Tasso di lavoro a pressoflessione	$\sigma_{c,0,d}/[k_{c,min}f_{c,0,d}] + (\sigma_{m,y,d}/[k_{crit,m} f_{m,y,d}])^2$		[-]

Verifiche travetto 12x12

CARATTERISTICHE DEL LEGNO			
Coefficiente di sicurezza per il materiale	γ_m	1,35	
Coefficiente k_{mod}	k_{mod}	0,60	
		BS11	
Flessione	$f_{m,k}$	24,00	
Trazione parallela alla fibra	$f_{t,0,k}$	19,20	
Trazione perpendicolare alla fibra	$f_{t,90,k}$	0,50	
Compressione parallela alla fibra	$f_{c,0,k}$	24,00	
Compressione perpendicolare alla fibra	$f_{c,90,k}$	2,50	
Taglio	$f_{v,k}$	3,50	
Modulo medio parallelo alla fibratura	$E_{0,mean}$	11,50	
Modulo parallelo alla fibratura	$E_{0,05}$	9,60	
Modulo medio perpendicolare alla fibratura	$E_{90,mean}$	0,30	
Modulo di taglio medio	G_{mean}	0,65	
Caratteristiche di sollecitazione	γ_a/g	1,00	

CARATTERISTICHE DELLA SEZIONE RETTANGOLARE E DELL'ASTA			
Base della sezione	b	120	[mm]
Altezza della sezione	h	120	[mm]
Lunghezza libera d'inflessione attorno a y - y	L_{0y}	3000	[mm]
Lunghezza libera d'inflessione attorno a z - z	L_{0z}	3000	[mm]
Distanza tra i ritegni torsionali	L_{LT}	3000	[mm]
Area della sezione	A	14400	[mm ²]
Momento d'inerzia y - y	I_y	17280000	[mm ⁴]
Momento d'inerzia z - z	I_z	17280000	[mm ⁴]
Modulo di resistenza y - y	W_y	288000	[mm ³]
Modulo di resistenza z - z	W_z	288000	[mm ³]
Raggio d'inerzia y	i_y	34,64	[mm]
Raggio d'inerzia z	i_z	34,64	[mm]
Snellezze dell'elemento	λ_y	86,60	[-]
	λ_z	86,60	[-]
Tensioni critiche euleriane	$\sigma_{c,crit,y}$	12,63	[MPa]
	$\sigma_{c,crit,z}$	12,63	[MPa]
Snellezze relative dell'elemento	$\lambda_{rel,y}$	1,378	[-]
	$\lambda_{rel,z}$	1,378	[-]
Coefficienti di stabilità	β_c	0,20	[-]

k_y	1,558	[-]
k_z	1,558	[-]
$k_{c,y}$	0,438	[-]
$k_{c,z}$	0,438	[-]

Tensioni limite di calcolo	$k_{c,y}f_{c,0,d}$	4,67	[MPa]
	$k_{c,z}f_{c,0,d}$	4,67	[MPa]

VERIFICA A PRESSOFLESSIONE - TENSOFFLESSIONE - TAGLIO		SLU	SOLLECITAZIONI
Massima forza di compressione	$N_{c,Sd}$	0,00 [kN]	0,00
Massima forza di trazione	$N_{t,Sd}$	0,00 [kN]	0,00
Massimo momento flettente	M_{Sd}	1,60 [kNm]	1,60
Massimo taglio	V_{Sd}	2,10 [kN]	2,10
Tensione massima di compressione	$\sigma_{c,0,d} = N_{c,Sd}/A$	0,00 [MPa]	
Tensione massima di trazione	$\sigma_{t,0,d} = N_{t,Sd}/A$	0,00 [MPa]	
Tensione massima a flessione	$\sigma_{m,y,d} = M_{Sd}/W_y$	5,56 [MPa]	
Tensione tangenziale massima	$\tau_d = 1,5 V_{Sd}/(b h)$	0,22 [MPa]	
Tasso di lavoro in compressione	$\sigma_{c,0,d}/[k_{c,min}f_{c,0,d}]$	0,00 [-]	SI
Tasso di lavoro in trazione	$\sigma_{t,0,d}/f_{t,0,d}$	0,00 [-]	SI
Tasso di lavoro a flessione	$\sigma_{m,y,d}/f_{m,y,d}$	0,52 [-]	SI
Tasso di lavoro a pressoflessione	$\sigma_{c,0,d}/[k_{c,min}f_{c,0,d}] + \sigma_{m,y,d}/f_{m,y,d}$	0,52 [-]	SI
Tasso di lavoro a taglio	$\tau_d/f_{v,d}$	0,14 [-]	SI
VERIFICA DI FLESSO TORSIONE			
Momento d'inerzia torsionale	I_t	69120000 [mm ⁴]	
Tensione critica flesso torsionale	$\sigma_{m,crit}$	265,30 [MPa]	
Snellezza relativa a flesso torsione	$\lambda_{rel,m}$	0,301 [-]	
Coefficiente di svergolamento	$k_{crit,m}$	1,000 [-]	
Tasso di lavoro a flessione semplice	$\sigma_{m,y,d}/[k_{crit,m} f_{m,y,d}]$	[-]	
Tasso di lavoro a pressoflessione	$\sigma_{c,0,d}/[k_{c,min}f_{c,0,d}] + (\sigma_{m,y,d}/[k_{crit,m} f_{m,y,d}])^2$	[-]	

6. STRUTTURA IN ACCIAIO SCOPERTA COLLEGATA AL FABBRICATO 760X500X300

Trattasi di una struttura in profili di acciaio scatolari posta nel resede dell'edificio ed a questi collegata.

La struttura è formata da portali zoppi collegati alla struttura esistente del fabbricati e non presenta una copertura fissa.

Per la geometria della stessa e per i carichi portati, la struttura si configura come 'opera priva di rilevanza' ai sensi del articolo 94 bis, comma 2, lettera c), del d.p.r. 380/2001 nonché dell'articolo 170 bis della l.r. 65/2014 e pertanto per la stessa si procederà alla redazione di un fascicolo esecutivo di calcolo senza procedere allo specifico deposito sismico presso l'ufficio competente della Regione toscana.

La struttura può essere definita una sorta di completamento di un pergolato già in loco.

E' prevista di dimensioni fuori terra pari a 7.60x5.00ml.

Gli elementi portanti della struttura sono 03 pilastri verticali realizzati con tubolari in acciaio diam 150mm spessore 3mm , trave di gronda 50x100x3 e arcarecci di falda sezione 70x80x3 interasse 94cm circa. Tutti gli elementi della struttura sono acciaio S235 JR.

La fondazione della struttura è formata da plinti puntuali dimensione 50x50x20 realizzati in corrispondenza di ciascun pilastro. I plinti sono poi superiormente collegati da una soletta armata spessore 15cm necessaria per la posa della pavimentazione antitrauma.

I pilastri sono vincolati al plinto mediante piastra a bicchiere.

Gli arcarecci sono vincolati alla trave di gronda del fabbricato (cordolo gettato in opera) mediante staffe a U bullonate.

6.1 RELAZIONE DI CALCOLO

Dal punto di vista strutturale l'intervento si configura come 'opera priva di rilevanza' ai sensi delle NTC 2018, ma per esso si procede comunque al dimensionamento come da normativa. Il manufatto è stato dimensionato considerando la sovrastruttura incastrata alla base e sollecitata da vento, neve e sisma nelle combinazioni di carico previste dalla normativa.

Le sollecitazioni ricavate poi dalla verifica dinamica della sovrastruttura sono state poi applicate alla platea sottostante per il dimensionamento della stessa e per la verifica della portanza del terreno.

La sovrastruttura è stata dimensionata mediante mediante la risoluzione di vari schemi statici.

Ipotesi progettuali comuni a tutti i manufatti dimensionati sono:

- $q=1$
- Classe III: Costruzioni il cui uso preveda affollamenti significativi - SCUOLE

Data la massa ridotta della struttura si ritiene progettualmente corretto procedere al dimensionamento della stessa ai soli carichi statici.

6.2 RELAZIONE SUI MATERIALI

Acciaio per c.a. in barre ad aderenza migliorata:

Tensione di snervamento: **B450C**

$$f_{yk} \geq 4500 \text{ Kg/cm}^2$$

Conglomerato cementizio armato per strutture di fondazione: **C28/35**

Classe di consistenza S4, Dimensione max inerte < 24 mm

Resistenza di progetto a compressione: $f_{cd} = 158.7 \text{ Kg/cm}^2$

Resistenza di progetto a trazione: $f_{ctd} = 12.9 \text{ Kg/cm}^2$

Classe di esposizione XC2

Da tabella 4.1.III delle NTC condizioni ambientali ordinarie: copriferro $\geq 25 \text{ mm}$

Acciaio da carpenteria

Tutti gli elementi dovranno avere un modulo di elasticità non inferiore a 206000 N/mmq.

Profilati, larghi piatti, barre e lamiera

Acciaio tipo S 235 con le seguenti caratteristiche:

Tensione caratteristica di snervamento $\geq 235 \text{ N/mmq}$

Tensione di rottura a trazione $\geq 390 \text{ N/mmq}$

Allungamento percentuale a rottura per lamiera $\geq 24\%$

Allungamento percentuale a rottura per barre, laminati, profilati e larghi piatti $\geq 26\%$

Bulloneria

Classe 4.6

6.3 RELAZIONE DI FONDAZIONE

Di seguito si procede al calcolo della tensione trasmessa dal pilastro del portale zoppo al plinto di fondazione.

Si è proceduto ad una doppia verifica: la verifica STRU della platea e la verifica GEO con la quale si è ricavato il valore del carico massimo sul terreno da confrontare con il carico limite indicato nella relazione geologico-tecnica allegata alla presente pratica.

Reazioni vincolare

VERIFICA GEO DELLA PLATEA

verifica a lungo termine in condizioni drenate		
APPROCCIO 2 (A1 + M1 + R3)		
azioni incrementate, parametrici geotecnici invariati, resistenze ridotte		
GammaG1 (*)	1,3	gammaM
GammaG2 (*)	1,5	gammaR
GammaQ (*)	1,5	Kh sismico
VERIFICA ALLO SLU DI TIPO GEOTECNICO		
CALCOLO DEL CARICO LIMITE INSIEME FONDAZIONE-TERRENO		
Dati terreno		
angolo d'attrito fi	gradi	24
peso specifico 1	t/mc	1,70
peso specifico 2	t/mc	1,80
coesione c'	t/mq	0,00
inclinazione del pendio	gradi	0 ok
profondità della falda dw	m	100
tipo di terreno	C/A	PD
Geometria fondazione		
profondità di posa D	m	0,45
base B	m	1,00
lunghezza L (L>B)	m	1,00
eccentricità Eb	m	0,00
eccentricità El	m	0,00
inclinazione del carico effettiva	gradi	0,00
Dati di calcolo		
inclinazione del carico sismica	gradi	3,60
inclinazione del carico totale	gradi	3,60487
B'' (= B o B')	m	1
L'' (= L o L')	m	1
c'' (= c o c*)	t/mq	0,00
fi'' (= fi o fi*)	gradi	24
Nq		9,60
Ng		9,44
Nc		19,32
fq		1,445
fg		0,600
fc		1,497
iq		0,960

ig		0,850
ic		0,960
eq		1,000
eg		1,000
ec		1,000
Risultati		
qlim	t/mq	15
gammaR		1,00
qRd	t/mq	15
kwinkler	DaN/cm3	0,58

PLINTO						
GEOMETRIA						
Dimensioni	(cm)	bx	by	Bx	By	<input type="text" value="sp 10 cr"/>
		15	15	40	40	
Eccentricità pilastro	(cm)	ex	ey	Pilastro interno	$\beta =$	1,15
		0	0			
H plinto	(cm)	20				
copriferro	(cm)	3				
d	(cm)	17				
SOLLECITAZIONI - MATERIALI						
Azioni agenti SLU (KN-KNm)		Nsd	Msd x	Msd y	Mediam. Tozzo	
		1,85	0,2	0,1	Meccanismo tirante-puntone; non necessita verifica a taglio	
PRESSIONI						
Pressioni sul terreno	MPa	σ_1	σ_2	σ_3	σ_4	
		0,040	0,019	-0,001	-0,022	

La verifica geo risulta soddisfatta in quanto $0.04 < 1.50$.

VERIFICA STRU DELLA PLATEA

Si considera un plinto sezione 40x40x20 in corrispondenza della quale vengono trasmesse le reazioni vincolari dei pilastri e si procede alla verifica geo della sezione.

Titolo : _____

N° strati barre **Zoom**

N°	b [cm]	h [cm]
1	40	20

N°	As [cm²]	d [cm]
1	3,14	3
2	3,14	17

Tipo Sezione
 Rettan.re Trapezi
 a T Circolare
 Rettangoli Coord.
 DXF

Sollecitazioni
 S.L.U. Metodo n

N_{Ed} kN
 M_{xEd} kNm
 M_{yEd} kNm

P.to applicazione N
 Centro Baricentro cls
 Coord.[cm] xN
 yN

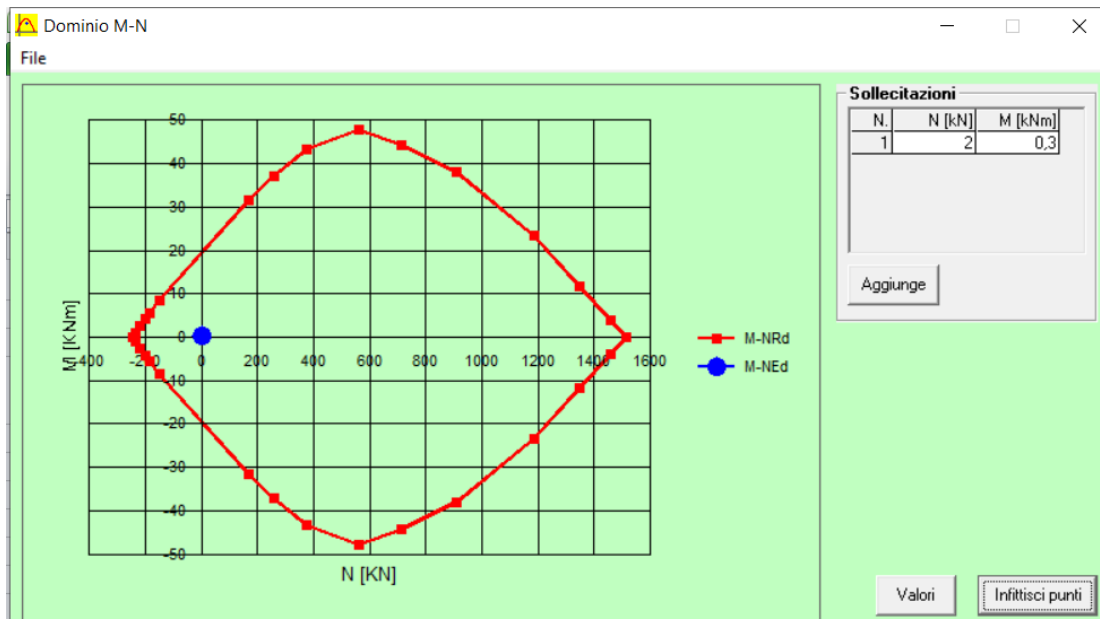
Materiali
 B450C C28/35
 ε_{su} ‰ ε_{c2} ‰
 f_{yd} N/mm² ε_{cu} ‰
 E_s N/mm² f_{cd} ‰
 E_s/E_c f_{cc}/f_{cd} ?
 ε_{syd} ‰ σ_{c,adm} N/mm²
 σ_{s,adm} N/mm² τ_{co}
 τ_{c1}

M_{xRd} kN m
 σ_c N/mm²
 σ_s N/mm²
 ε_c ‰
 ε_s ‰
 d cm
 x x/d
 δ

Metodo di calcolo
 S.L.U.+ S.L.U.-
 Metodo n

Tipo flessione
 Retta Deviata

N° rett.
Calcola MRd **Dominio M-N**
 L₀ cm **Col. modello**
M-curvatura
 Precompresso



6.4 RELAZIONE DI CALCOLO

ANALISI DEI CARICHI

L' **ANALISI DEI CARICHI** per la determinazione delle forze statiche agenti sulla struttura in esame è stata effettuata in modo tale da pervenire alle condizioni più gravose nei confronti delle verifiche da effettuare.

I carichi d'esercizio assunti a base dei calcoli, oltre il peso proprio delle strutture portanti ed ai sovraccarichi permanenti conformemente alla destinazione specifica dei locali ed a quelli stabiliti dalle NTC 2018 sono stati i seguenti:

CARICHI VERTICALI DISTRIBUITI – STATO di PROGETTO

G+QPS+QPN		25	Kg/mq
VENTO	SOPR	27	Kg/mq
VENTO	SOTT	54	Kg/mq
CARICO NEVE	Qacc	80	Kg/mq

La determinazione delle caratteristiche della sollecitazione provocate nelle strutture è stata effettuata con i **METODI DELLA SCIENZA DELLE COSTRUZIONI**, basati sull'ipotesi dell'elasticità lineare dei materiali e cumulando le condizioni di carico nel modo più sfavorevole.

Tutte le verifiche di resistenza del legno sono state eseguite con l'applicazione del **METODO DEGLI STATI LIMITE** , tenendo conto delle condizioni più gravose possibili di carico.

Le caratteristiche delle azioni sollecitanti ricavate in base alle combinazioni, secondo quanto stabilito al **p.to 2.5.3 del D.M. 17.01.2018** risultano inferiori alle azioni resistenti per tutti gli stati limite previsti dal suddetto decreto

SLU - Combinazione fondamentale

$$\gamma_{G1} G_1 + \gamma_{G2} G_2 + \gamma_P P + \gamma_{Q1} Q_{k1} + \gamma_{Q2} \psi_{02} Q_{k2} + \gamma_{Q3} \psi_{03} Q_{k3} + \dots$$

SLE - Combinazione caratteristica (rara) – per tensioni ammissibili

$$G_1 + G_2 + P + Q_{k1} + \psi_{02} Q_{k2} + \psi_{03} Q_{k3} + \dots$$

SLE - Combinazione frequente - reversibili

$$G_1 + G_2 + P + \psi_{11} Q_{k1} + \psi_{22} Q_{k2} + \psi_{23} Q_{k3} + \dots$$

SLE - Combinazione quasi permanente – a lungo termine

$$G_1 + G_2 + P + \psi_{21} Q_{k1} + \psi_{22} Q_{k2} + \psi_{23} Q_{k3} + \dots$$

SLU – SLE - Combinazione sismica

$$G_1 + G_2 + P + E + \psi_{21} Q_{k1} + \psi_{22} Q_{k2} + \psi_{23} Q_{k3} + \dots$$

SLU - Combinazione eccezionale

$$G_1 + G_2 + P + A_d + \psi_{21} Q_{k1} + \psi_{22} Q_{k2} + \psi_{23} Q_{k3} + \dots$$

In carichi sopra definiti, una volta definiti e assegnati, vengono combinati (par. 2.5.3) a seconda della categoria dell'azione variabile, e fattorizzati (par. 2.6) a seconda che l'azione che esercita il

carico sulla struttura sia a vantaggio o a svantaggio di sicurezza, come riportato nelle seguenti tabelle.

Categoria/Azione variabile	Ψ_{0j}	Ψ_{1j}	Ψ_{2j}
Categoria A – Ambienti ad uso residenziale	0.7	0.5	0.3
Categoria B – Uffici	0.7	0.5	0.3
Categoria C – Ambienti suscettibili di affollamento	0.7	0.7	0.6
Categoria D – Ambienti d uso commerciale	0.7	0.7	0.6
Categoria E – Biblioteche, archivi, magazzini e ambienti industriali	1.0	0.9	0.8
Categoria F – Rimesse e parcheggi (per autoveicoli di peso ≤ 30 kN)	0.7	0.7	0.6
Categoria G – Rimesse e parcheggi (per autoveicoli di peso > 30 kN)	0.7	0.5	0.3
Categoria H – coperture accessibili per sola manutenzione	0.0	0.0	0.0
Categoria I – coperture praticabili	Da valutarsi caso per caso		
Categoria K – coperture per usi speciali (impianti, eliporti...)	Da valutarsi caso per caso		
Vento	0.6	0.2	0.0
Neve (a quota ≤ 1000 m s.l.m.)	0.5	0.2	0.0
Neve (a quota > 1000 m s.l.m.)	0.7	0.5	0.2
Variazioni termiche	0.6	0.5	0.0

Tab. 2.5.1 – Valori dei coefficienti di combinazione

		Coefficiente γ_F	EQU	A1 STR	A2 GEO
Carichi permanenti	favorevoli	γ_{G1}	0.9	1.0	1.0
	sfavorevoli		1.1	1.3	1.0
Carichi permanenti non strutturali ⁽¹⁾	favorevoli	γ_{G2}	0.8	0.8	0.8
	sfavorevoli		1.5	1.5	1.3
Carichi variabili	favorevoli	γ_{Qj}	0.0	0.0	0.0
	sfavorevoli		1.5	1.5	1.3

⁽¹⁾ per i carichi permanenti non strutturali compiutamente definiti si possono utilizzare gli stessi coefficienti dei carichi permanenti

Tab. 2.6.1 – Coefficienti parziali per le azioni o per l'effetto delle azioni nelle verifiche SLU

Nel modello strutturale , non avendo considerato la copertura come elemento rigido per la ripartizione dei carichi, le sollecitazioni sono state applicate direttamente sui vari elementi strutturali in funzione della propria area di influenza.

6.5 FASCICOLO DI CALCOLO

Ciascun elemento del portale zoppo è stato dimensionato considerando le sollecitazioni ricavate dalla risoluzione dello schema statico.

Si riporta di seguito la tabella delle sollecitazioni agenti e la verifica del elementi principali più sollecitati secondo le NTC 2018.

ARCARECCIO 40x80

Si considera lo schema statico di trave su due appoggi con sbalzo finale.


Il carico applicato è un carico distribuito che cautelativamente viene considerato come se ci fosse copertura continua.

Le sollecitazioni ricavate dallo schema statico sono le seguenti:

$M=200\text{Kgml}$

$T=196.5\text{Kg}$

VERIFICHE DI RESISTENZA E STABILITA' PER PROFILI CAVI A SEZIONE QUADRA - RETTANGOLARE

Dati INPUT			Dati OUTPUT														
Caratteristiche acciaio			Dati geometrici														
Qualità acciaio:	UNI EN 10210 S 275 H		Dimensione lati		Spessore	Classe della sezione	Area sezione trasversale	Momenti di inerzia			Momenti resistenti elastici		Momenti resistenti plastici		Massa per unità di lunghezza	Superf. per unità di lunghezza	Lunghezza per tonnellata
$f_{yk} =$	275	[Mpa]	H	B	T	3	A	I_{yy}	I_{zz}	W_{elyy}	W_{elzz}	W_{plyy}	W_{plzz}	M	As	L/1t	
$f_{tk} =$	430	[Mpa]	[mm]	[mm]	[mm]		[cm ²]	[cm ⁴]	[cm ⁴]	[cm ³]	[cm ³]	[cm ³]	[cm ³]	[kg/m]	[m ² /m]	[m]	
			800,0	400,0	7,0		165,51	143840,97	49744,47	3596,02	2487,22	4361,52	2711,63	129,93	2,38	7,70	
Geometria sezione			Verifiche secondo NTC2018 - §4.2														
H =	800,0	[mm]	Verifica a trazione (4.2.4.1.2.1)				$N_{pl,Rd} =$	4334,90					$N_{Ed} / N_{pl,R} =$	0,00	verifica soddisfatta		
B =	400,0	[mm]	Verifica a compressione (4.2.4.1.2.2)				$N_{c,Rd} =$	4334,90					$N_{Ed} / N_{c,Rd} =$	0,00	verifica soddisfatta		
t =	7,0	[mm]	Verifica a flessione retta (4.2.4.1.2.3 - 4.2.4.1.2.6)				$M_{c,y,Rd} =$	941,82					$M_{y,Ed} / M_{c,y,Rd} =$	0,00	verifica soddisfatta		
Lunghezza e vincoli asta			Verifica a flessione retta (4.2.4.1.2.3 - 4.2.4.1.2.6)				$M_{c,z,Rd} =$	651,42					$M_{z,Ed} / M_{c,z,Rd} =$	0,00	verifica soddisfatta		
L =	4,70	[m]	Verifica a taglio (4.2.4.1.2.4)				$V_{c,Rd} =$	1668,50					$V_{Ed} / V_{c,Rd} =$	0,00	verifica soddisfatta		
$\beta_y =$	1,00	[-]	Verifica a taglio (4.2.4.1.2.4)				$V_{c,Rd} =$	1668,50					$V_{Ed} / V_{c,Rd} =$	0,00	verifica soddisfatta		
$\beta_z =$	1,00	[-]	Verifica a taglio (4.2.4.1.2.4)				$V_{c,Rd} =$	1668,50					$V_{Ed} / V_{c,Rd} =$	0,00	verifica soddisfatta		
Sollecitazioni agenti			Verifica a presso/tenso-flessione retta (4.2.4.1.2.7 - 4.2.4.1.2.9)				Sez. Classe 1-2	$M_{N,y,Rd} =$					$M_{Ed} / M_{N,y,Rd} =$				
$N_{Ed} =$	0,00	[kN]					Sez. Classe 3	$M_{N,z,Rd} =$					$M_{Ed} / M_{N,z,Rd} =$				
$V_{Ed} =$	2,00	[kN]					Sez. Classe 3	$ \sigma_{x,My,Ed} =$	0,56					$f_{yd} =$	261,90	verifica soddisfatta	
$M_{y,Ed} =$	2,00	[kNm]					Sez. Classe 3	$ \sigma_{x,Mz,Ed} =$	0,00					$f_{yd} =$	261,90	verifica soddisfatta	
$M_{z,Ed} =$	0,00	[kNm]	Verifica a presso/tenso-flessione biassiale (4.2.4.1.2.8 - 4.2.4.1.2.9)				Sez. Classe 1-2	$M_{N,y,Rd} =$	$(M_{y,Ed} / M_{N,y,Rd})^\alpha + (M_{z,Ed} / M_{N,z,Rd})^\beta =$								
$\Psi_y =$	0,00	Tab. C4.2.VI	Verifica a presso/tenso-flessione biassiale (4.2.4.1.2.8 - 4.2.4.1.2.9)				Sez. Classe 1-2	$M_{N,z,Rd} =$									
$\Psi_z =$	0,00	Circ. NTC2018	Verifica a presso/tenso-flessione biassiale (4.2.4.1.2.8 - 4.2.4.1.2.9)				Sez. Classe 3	$ \sigma_{x,Ed} =$	0,56					$f_{yd} =$	261,90	verifica soddisfatta	
 <p style="font-size: small;">Fondazione Promozione Acciaio CRESCERE L'ACCIAIO, CRESCERE IL PAESE.</p>			Verifica stabilità membrature compresse (4.2.4.1.3.1)				$N_{b,Rd} =$	4224,81	$\chi_{min} =$	0,97	$N_{Ed} / N_{b,Rd} =$	0,00	verifica soddisfatta				
			Verifica stabilità membrature presso-inflesse (4.2.4.1.3.3)				$\frac{N_{Ed} \cdot \gamma_{M1}}{\chi_{min} \cdot f_{yk} \cdot A} + \frac{M_{y,eq,Ed} \cdot \gamma_{M1}}{f_{yk} \cdot W_y \cdot \left(1 - \frac{N_{Ed}}{N_{cr,y}}\right)} + \frac{M_{z,eq,Ed} \cdot \gamma_{M1}}{f_{yk} \cdot W_z \cdot \left(1 - \frac{N_{Ed}}{N_{cr,z}}\right)} = 0,00$							verifica soddisfatta			

TRAVE DI GRONDA

Si considera lo schema statico di trave su due appoggi con carico uniforme.


Il carico applicato è un carico distribuito che cautelativamente viene considerato come se ci fosse copertura continua.

Le sollecitazioni ricavate dallo schema statico sono le seguenti:

$M=475\text{Kgml}$

$T=506.3\text{Kg}$

VERIFICHE DI RESISTENZA E STABILITA' PER PROFILI CAVI A SEZIONE QUADRA - RETTANGOLARE

Dati INPUT			Dati OUTPUT															
Caratteristiche acciaio			Dati geometrici															
Qualità acciaio:	UNI EN 10210 S 275 H		Dimensione lati		Spessore	Classe della sezione	Area sezione trasversale	Momenti di inerzia			Momenti resistenti elastici		Momenti resistenti plastici		Massa per unità di lunghezza	Superf. per unità di lunghezza	Lunghezza per tonnellata	
$f_{yk} =$	275	[Mpa]	H	B	T	3	A	I_{yy}	I_{zz}	W_{elyy}	W_{elzz}	W_{plyy}	W_{plzz}	M	As	L/1t		
$f_{tk} =$	430	[Mpa]	[mm]	[mm]	[mm]		[cm ²]	[cm ⁴]	[cm ⁴]	[cm ³]	[cm ³]	[cm ³]	[cm ³]	[kg/m]	[m ² /m]	[m]		
			1000,0	500,0	10,0		294,93	399176,79	137808,83	7983,54	5512,35	9697,95	6024,77	231,52	2,97	4,32		
Geometria sezione			Verifiche secondo NTC2018 - §4.2															
H =	1000,0	[mm]	Verifica a trazione (4.2.4.1.2.1)				$N_{pl,Rd} =$	7724,28						$N_{Ed} / N_{pl,R} =$	0,00	verifica soddisfatta		
B =	500,0	[mm]	Verifica a compressione (4.2.4.1.2.2)				$N_{c,Rd} =$	7724,28						$N_{Ed} / N_{c,Rd} =$	0,00	verifica soddisfatta		
t =	10,0	[mm]	Verifica a flessione retta (4.2.4.1.2.3 - 4.2.4.1.2.6)				$M_{c,y,Rd} =$	2090,93						$M_{y,Ed} / M_{c,y,Rd} =$	0,00	verifica soddisfatta		
L =	3,75	[m]	Verifica a flessione retta (4.2.4.1.2.3 - 4.2.4.1.2.6)				$M_{c,z,Rd} =$	1443,71						$M_{z,Ed} / M_{c,z,Rd} =$	0,00	verifica soddisfatta		
$\beta_y =$	1,00	[-]	Verifica a taglio (4.2.4.1.2.4)				$V_{c,Rd} =$	2973,08						$V_{Ed} / V_{c,Rd} =$	0,00	verifica soddisfatta		
$\beta_z =$	1,00	[-]	Verifica a taglio (4.2.4.1.2.4)				$V_{c,Rd} =$	2973,08						$V_{Ed} / V_{c,Rd} =$	0,00	verifica soddisfatta		
Sollecitazioni agenti			Verifica a presso/tenso-flessione retta (4.2.4.1.2.7 - 4.2.4.1.2.9)				Sez. Classe 1-2	$M_{N,y,Rd} =$						$M_{Ed} / M_{N,y,Rd} =$				
$N_{Ed} =$	0,00	[kN]					Sez. Classe 3	$M_{N,z,Rd} =$						$M_{Ed} / M_{N,z,Rd} =$				
$V_{Ed} =$	5,10	[kN]						$ \sigma_{x,My,Ed} =$	0,59						$f_{yd} =$	261,90	verifica soddisfatta	
$M_{y,Ed} =$	4,75	[kNm]						$ \sigma_{x,Mz,Ed} =$	0,00						$f_{yd} =$	261,90	verifica soddisfatta	
$M_{z,Ed} =$	0,00	[kNm]	Verifica a presso/tenso-flessione biassiale (4.2.4.1.2.8 - 4.2.4.1.2.9)				Sez. Classe 1-2	$M_{N,y,Rd} =$	$(M_{y,Ed} / M_{N,y,Rd})^\alpha + (M_{z,Ed} / M_{N,z,Rd})^\beta =$									
$\Psi_y =$	0,00	Tab. C4.2.VI					Sez. Classe 3	$M_{N,z,Rd} =$										
$\Psi_z =$	0,00	Circ. NTC2018						$ \sigma_{x,Ed} =$	0,59						$f_{yd} =$	261,90	verifica soddisfatta	
 <p style="font-size: small;">Fondazione Promozione Acciaio CRESCERE L'ACCIAIO, CRESCERE IL PAESE.</p>			Verifica stabilità membrature compresse (4.2.4.1.3.1)				$N_{b,Rd} =$	7724,28	$\chi_{min} =$	1,00	$N_{Ed} / N_{b,Rd} =$	0,00	verifica soddisfatta					
			Verifica stabilità membrature presso-inflesse (4.2.4.1.3.3)				$\frac{N_{Ed} \cdot \gamma_{M1}}{\chi_{min} \cdot f_{yk} \cdot A} + \frac{M_{y,eq,Ed} \cdot \gamma_{M1}}{f_{yk} \cdot W_y \cdot \left(1 - \frac{N_{Ed}}{N_{cr,y}}\right)} + \frac{M_{z,eq,Ed} \cdot \gamma_{M1}}{f_{yk} \cdot W_z \cdot \left(1 - \frac{N_{Ed}}{N_{cr,z}}\right)} = 0,00$							verifica soddisfatta				

PILASTRO

Si considera lo schema statico di mensola incastrata alla base con carico di punta dovuto all'arcareccio di copertura e carico orizzontale dovuto al vento.

Il carico applicato è un carico distribuito che cautelativamente viene considerato come se ci fosse copertura continua.

Le sollecitazioni ricavate dallo schema statico sono le seguenti:


$N = -184 \text{ Kg}$

$M = 18.50 \text{ Kgml}$

$T = 26 \text{ Kg}$

IL tecnico
SILVIA PAOLETTI
ingegnere

VERIFICHE DI RESISTENZA E STABILITA' PER PROFILI CAVI A SEZIONE CIRCOLARE

Dati INPUT				Dati OUTPUT										
Caratteristiche acciaio				Dati geometrici										
Qualità acciaio:	UNI EN 10210 S 275 H			Diametro esterno	Spessore	Classe della sezione	Area sezione trasversale	Momento inerzia	Raggio giratore inerzia	Modulo resistente elastico	Modulo resistente plastico	massa per unità di lunghezza	Superf. per unità di lunghezza	Lunghezza per tonnellata
$f_{yk} =$	275		[Mpa]	D	T	1	A	I	i	W _{el}	W _{pl}	M	A _s	L/1t
$f_{tk} =$	430		[Mpa]	[mm]	[mm]		[cm ²]	[cm ⁴]	[cm]	[cm ³]	[cm ³]	[kg/m]	[m ² /m]	[m]
				150,0	6,0		27,14	704,78	5,10	93,97	124,49	21,31	0,47	46,93
Geometria sezione				Verifiche secondo NTC2018 - §4.2										
D =	150,0		[mm]	Verifica a trazione (4.2.4.1.2.1)			$N_{pl,Rd} =$	710,90			$N_{Ed} / N_{pl,R} =$			
t =	6,0		[mm]	Verifica a compressione (4.2.4.1.2.2)			$N_{c,Rd} =$	710,90			$N_{Ed} / N_{c,Rd} =$	0,00	verifica soddisfatta	
Lunghezza e vincoli asta				Verifica a flessione retta (4.2.4.1.2.3 - 4.2.4.1.2.6)			$M_{c,Rd} =$	32,60			$M_{y,Ed} / M_{c,Rd} =$	0,01	verifica soddisfatta	
L =	2,60		[m]	Verifica a taglio (4.2.4.1.2.4)			$V_{c,Rd} =$	261,29			$V_{Ed} / V_{c,Rd} =$	0,00	verifica soddisfatta	
β =	1,00		[-]	Verifica a presso/tenso-flessione retta (4.2.4.1.2.7 - 4.2.4.1.2.9)			$M_{N,Rd} =$	32,60			$M_{Ed} / M_{N,Rd} =$	0,01	verifica soddisfatta	
Sollecitazioni agenti				Verifica stabilità membrature compresse (4.2.4.1.3.1)			$N_{b,Rd} =$	635,96			$N_{Ed} / N_{b,Rd} =$	0,00	verifica soddisfatta	
$N_{Ed} =$	-1,85		[kN]	Verifica stabilità membrature presso-inflesse (4.2.4.1.3.3)			$\frac{N_{Ed} \cdot \gamma_{M1}}{\chi_{min} \cdot f_{yk} \cdot A} + \frac{M_{y,eq,Ed} \cdot \gamma_{M1}}{f_{yk} \cdot W_y \cdot \left(1 - \frac{N_{Ed}}{N_{cr,y}}\right)} + \frac{M_{z,eq,Ed} \cdot \gamma_{M1}}{f_{yk} \cdot W_z \cdot \left(1 - \frac{N_{Ed}}{N_{cr,z}}\right)} = 0,01$							
$V_{Ed} =$	0,30		[kN]											
$M_{y,Ed} =$	0,20		[kNm]											
$\psi =$	0,00		Tab. C4.2.VI Circ. NTC2018											
 <p style="font-size: small; margin: 0;">Fondazione Promozione Acciaio CRESCERE L'ACCIAIO, CRESCERE IL PAESE.</p>														

Firmato da:

PAOLETTI SILVIA

codice fiscale PLTSLV74M65G999E

num.serie: 123211585690230571860533369402341071990

emesso da: ArubaPEC S.p.A. NG CA 3

valido dal 29/02/2020 al 01/03/2023